

# Volumes finis pour les problèmes elliptiques hétérogènes anisotropes sur maillages généraux

## PARTIE 1

Franck BOYER

Laboratoire d'Analyse, Topologie et Probabilités  
CNRS / Université Paul Cézanne

Ecole d'été du GDR MOAD  
Fréjus, 31 Aout - 3 Septembre 2009



## PARTIE 1

- Introduction : modèles / problématiques.
- Le schéma volumes finis de base et les outils d'analyse associés.

## PARTIE 2

- Revue de schémas plus évolués et de leurs propriétés.
- Benchmark

## PARTIE 3

- Les schémas DDFV dans le cadre scalaire non-linéaire.
- Les schémas DDFV pour le problème de Stokes.

## 1 INTRODUCTION

- Avant-Propos
- Ecoulements complexes en milieux poreux
- Ecoulements de fluides complexes visqueux incompressibles
- Autres modèles
- Cahier des charges

## 2 LE SCHÉMA VOLUMES FINIS BASIQUE POUR LE PROBLÈME DE LAPLACE

- Notations. Construction
- Analyse du schéma VF4
  - Existence. Unicité. Stabilité.
  - Principe du maximum discret
  - Gradient discret. Compacité. Convergence
  - Estimation de l'erreur
- Extensions de VF4
  - Diffusion isotrope hétérogène
  - Second membre non régulier
  - Un exemple un peu plus complexe
- Les limitations de VF4

## 1 INTRODUCTION

- Avant-Propos
- Ecoulements complexes en milieux poreux
- Ecoulements de fluides complexes visqueux incompressibles
- Autres modèles
- Cahier des charges

## 2 LE SCHÉMA VOLUMES FINIS BASIQUE POUR LE PROBLÈME DE LAPLACE

- Notations. Construction
- Analyse du schéma VF4
  - Existence. Unicité. Stabilité.
  - Principe du maximum discret
  - Gradient discret. Compacité. Convergence
  - Estimation de l'erreur
- Extensions de VF4
  - Diffusion isotrope hétérogène
  - Second membre non régulier
  - Un exemple un peu plus complexe
- Les limitations de VF4

## 1 INTRODUCTION

- Avant-Propos
- Ecoulements complexes en milieux poreux
- Ecoulements de fluides complexes visqueux incompressibles
- Autres modèles
- Cahier des charges

## 2 LE SCHÉMA VOLUMES FINIS BASIQUE POUR LE PROBLÈME DE LAPLACE

- Notations. Construction
- Analyse du schéma VF4
  - Existence. Unicité. Stabilité.
  - Principe du maximum discret
  - Gradient discret. Compacité. Convergence
  - Estimation de l'erreur
- Extensions de VF4
  - Diffusion isotrope hétérogène
  - Second membre non régulier
  - Un exemple un peu plus complexe
- Les limitations de VF4

## CE DONT JE NE PARLERAI PAS DANS CE COURS

- La prise en compte de conditions aux limites exotiques (Fourier par exemple).
- Les problèmes 3D (Cf. exposé de F. Hubert)
- Les méthodes Discontinuous Galerkin (Di Pietro–Ern '08)
- Beaucoup d'autres schémas (dont peut-être votre schéma favori).
- Les solveurs associés (décomposition de domaines, multigrille, ...)

**Je ne présenterai pas le schéma idéal !**

## REMERCIEMENTS

B. Andreianov, F. Hubert, S. Krell

## 1 INTRODUCTION

- Avant-Propos
- **Ecoulements complexes en milieux poreux**
- Ecoulements de fluides complexes visqueux incompressibles
- Autres modèles
- Cahier des charges

## 2 LE SCHÉMA VOLUMES FINIS BASIQUE POUR LE PROBLÈME DE LAPLACE

- Notations. Construction
- Analyse du schéma VF4
  - Existence. Unicité. Stabilité.
  - Principe du maximum discret
  - Gradient discret. Compacité. Convergence
  - Estimation de l'erreur
- Extensions de VF4
  - Diffusion isotrope hétérogène
  - Second membre non régulier
  - Un exemple un peu plus complexe
- Les limitations de VF4

## ÉCOULEMENT D'UN FLUIDE INCOMPRESSIBLE EN MILIEU POREUX

$\operatorname{div} v = 0$ , conservation de la masse,

$v = -\varphi(x, \nabla p)$ , loi constitutive pour la vitesse de filtration.

## ÉCOULEMENT D'UN FLUIDE INCOMPRESSIBLE EN MILIEU POREUX

$\operatorname{div} v = 0$ , conservation de la masse,

$v = -\varphi(x, \nabla p)$ , loi constitutive pour la vitesse de filtration.

### LOI DE DARCY

$$v = -K(x)\nabla p,$$

le tenseur  $K(x)$  est la perméabilité.

## ÉCOULEMENT D'UN FLUIDE INCOMPRESSIBLE EN MILIEU POREUX

$\operatorname{div} v = 0$ , conservation de la masse,

$v = -\varphi(x, \nabla p)$ , loi constitutive pour la vitesse de filtration.

## RÉGIMES NON LINÉAIRES

Dans certains cas, on doit considérer des effets non linéaires :

- **Loi de Darcy-Forchheimer** : En cas de forts gradients de pression

$$-\nabla p = \frac{1}{k}v + \beta|v|v, \iff v = \frac{-2k\nabla p}{1 + \sqrt{1 + 4\beta k^2|\nabla p|}}.$$

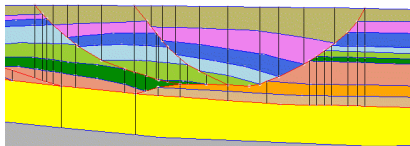
- **Loi de puissance** : Effets non-newtoniens

$$|v|^{n-1}v = -k\nabla p, \iff v = -|k\nabla p|^{\frac{1}{n}-1}(k\nabla p).$$

**Dans tous les cas, la loi  $\nabla p \mapsto v = -\varphi(x, \nabla p)$  est monotone**

## HÉTÉROGÉNÉITÉS, DISCONTINUITÉS, ANISOTROPIE

Exemple de structure souterraine



Chaque couleur représente un milieu poreux différent :

$$-\operatorname{div}(\varphi(x, \nabla p)) = f.$$

- $\varphi(x, \cdot)$  peut être linéaire pour certains matériaux.
- $\varphi(x, \cdot)$  peut être non linéaire pour d'autres.
- Certains matériaux sont très perméables, d'autres très imperméables.
- Fortes anisotropies dues à des directions privilégiées dans la structure des pores.

## CONDITIONS DE TRANSMISSION

- La pression est continue aux interfaces.
- Le flux de masse  $\varphi(x, \nabla p) \cdot \nu$  est continu aux interfaces.

## ÉCOULEMENTS MULTIPHASIQUES EN MILIEU POREUX

- Couplage non-linéaire d'une équation de Darcy avec un problème hyperbolique.
- En pratique on résout successivement via un schéma en temps :
  - 1) Un problème de Darcy dont la perméabilité est une fonction de la saturation.

$$-\operatorname{div}(K(u)\nabla p) = f,$$

- 2) Un problème hyperbolique non linéaire qui fait intervenir la vitesse de Darcy  $v = -K(u)\nabla p$  calculée précédemment.

$$\partial_t(\theta u) + \operatorname{div}(f(u)v) = 0.$$

- La première étape relève du problème étudié ici.
- On a besoin d'une bonne approximation des flux  $(v \cdot \nu)$  dans la seconde étape.

## ÉCOULEMENTS MULTIPHASIQUES EN MILIEU POREUX

- Couplage non-linéaire d'une équation de Darcy avec un problème hyperbolique.
- En pratique on résout successivement via un schéma en temps :
  - 1) Un problème de Darcy dont la perméabilité est une fonction de la saturation.

$$-\operatorname{div}(K(u)\nabla p) = f,$$

- 2) Un problème hyperbolique non linéaire qui fait intervenir la vitesse de Darcy  $v = -K(u)\nabla p$  calculée précédemment.

$$\partial_t(\theta u) + \operatorname{div}(f(u)v) = 0.$$

- La première étape relève du problème étudié ici.
- On a besoin d'une bonne approximation des flux  $(v \cdot \nu)$  dans la seconde étape.

## CONVECTION-DIFFUSION D'UN POLLUANT

$$\partial_t(\theta c) + \operatorname{div}(cv) - \operatorname{div}(D(c, v)\nabla c) = 0,$$

où  $D(c, v)$  est un tenseur de diffusion/dispersion et  $v$  la vitesse de Darcy.

## 1 INTRODUCTION

- Avant-Propos
- Ecoulements complexes en milieux poreux
- Ecoulements de fluides complexes visqueux incompressibles
- Autres modèles
- Cahier des charges

## 2 LE SCHÉMA VOLUMES FINIS BASIQUE POUR LE PROBLÈME DE LAPLACE

- Notations. Construction
- Analyse du schéma VF4
  - Existence. Unicité. Stabilité.
  - Principe du maximum discret
  - Gradient discret. Compacité. Convergence
  - Estimation de l'erreur
- Extensions de VF4
  - Diffusion isotrope hétérogène
  - Second membre non régulier
  - Un exemple un peu plus complexe
- Les limitations de VF4

## ÉQUATIONS DE NAVIER-STOKES INCOMPRESSIBLE MULTIFLUIDE

$$\begin{cases} \frac{\partial \rho}{\partial t} + v \cdot \nabla \rho = 0, \\ \frac{\partial \rho v}{\partial t} + \operatorname{div}(\rho v \otimes v) - 2 \operatorname{div}(\eta(\rho) D(v)) + \nabla p = \rho f + \mathcal{K} \delta_{\Sigma}, \\ \operatorname{div} v = 0. \end{cases}$$

avec  $D(v) = (\nabla v + {}^t \nabla v)/2$ .

## EQUATIONS DE NAVIER-STOKES INCOMPRESSIBLE MULTIFLUIDE

$$\begin{cases} \frac{\partial \rho}{\partial t} + v \cdot \nabla \rho = 0, \\ \frac{\partial \rho v}{\partial t} + \operatorname{div}(\rho v \otimes v) - 2 \operatorname{div}(\eta(\rho) D(v)) + \nabla p = \rho f + \mathcal{K} \delta_{\Sigma}, \\ \operatorname{div} v = 0. \end{cases}$$

avec  $D(v) = (\nabla v + {}^t \nabla v)/2$ .

## APRÈS DISCRÉTISATION EN TEMPS

$\rightsquigarrow$  Problème de type Stokes à viscosité variable avec terme source singulier

$$\begin{cases} \frac{1}{\Delta t} v^{n+1} - 2 \operatorname{div}(\eta(\rho^n) D(v^{n+1})) + \nabla p^{n+1} = \frac{1}{\Delta t} v^n + F^n + \mathcal{K} \delta_{\Sigma}^n, \\ \operatorname{div} v^{n+1} = 0. \end{cases}$$

## EQUATIONS DE NAVIER-STOKES INCOMPRESSIBLE MULTIFLUIDE

$$\begin{cases} \frac{\partial \rho}{\partial t} + v \cdot \nabla \rho = 0, \\ \frac{\partial \rho v}{\partial t} + \operatorname{div}(\rho v \otimes v) - 2 \operatorname{div}(\eta(\rho) D(v)) + \nabla p = \rho f + \mathcal{K} \delta_{\Sigma}, \\ \operatorname{div} v = 0. \end{cases}$$

avec  $D(v) = (\nabla v + {}^t \nabla v)/2$ .

## APRÈS DISCRÉTISATION EN TEMPS

$\rightsquigarrow$  Problème de type Stokes à viscosité variable avec terme source singulier

$$\begin{cases} \frac{1}{\Delta t} v^{n+1} - 2 \operatorname{div}(\eta(\rho^n) D(v^{n+1})) + \nabla p^{n+1} = \frac{1}{\Delta t} v^n + F^n + \mathcal{K} \delta_{\Sigma}^n, \\ \operatorname{div} v^{n+1} = 0. \end{cases}$$

## CAS TYPIQUE :

- $\rho$  prend deux valeurs (pas de zones de mélange).
- $\eta$  prend donc deux valeurs dont le rapport peut être important.

## MODÈLES NAVIER-STOKES OLDROYD

$$\begin{cases} \frac{\partial v}{\partial t} + (v \cdot \nabla)v - (1-r)\operatorname{div}(2\eta D(v)) + \nabla p - \operatorname{div} \sigma = f, \\ \lambda \left( \frac{\partial \sigma}{\partial t} - W(v) \cdot \sigma + \sigma \cdot W(v) + (v \cdot \nabla)\sigma \right) + \sigma = 2r\eta D(v), \\ \operatorname{div} v = 0, \end{cases}$$

avec  $D(v) = (\nabla v + {}^t \nabla v)/2$  et  $W(v) = (\nabla v - {}^t \nabla v)/2$ .

## MODÈLES NAVIER-STOKES OLDROYD

$$\begin{cases} \frac{\partial v}{\partial t} + (v \cdot \nabla)v - (1-r)\operatorname{div}(2\eta D(v)) + \nabla p - \operatorname{div} \sigma = f, \\ \lambda \left( \frac{\partial \sigma}{\partial t} - W(v) \cdot \sigma + \sigma \cdot W(v) + (v \cdot \nabla)\sigma \right) + \sigma = 2r\eta D(v), \\ \operatorname{div} v = 0, \end{cases}$$

avec  $D(v) = (\nabla v + {}^t \nabla v)/2$  et  $W(v) = (\nabla v - {}^t \nabla v)/2$ .

## MODÈLE DE SMAGORINSKI EN TURBULENCE

$$\begin{cases} \frac{\partial v}{\partial t} + (v \cdot \nabla)v - \operatorname{div}(2\eta D(v)) - \mu_h \operatorname{div}(|D(v)|D(v)) + \nabla p = f, \\ \operatorname{div} v = 0. \end{cases}$$

## MODÈLES NAVIER-STOKES OLDROYD

$$\begin{cases} \frac{\partial v}{\partial t} + (v \cdot \nabla)v - (1-r)\operatorname{div}(2\eta D(v)) + \nabla p - \operatorname{div} \sigma = f, \\ \lambda \left( \frac{\partial \sigma}{\partial t} - W(v) \cdot \sigma + \sigma \cdot W(v) + (v \cdot \nabla)\sigma \right) + \sigma = 2r\eta D(v), \\ \operatorname{div} v = 0, \end{cases}$$

avec  $D(v) = (\nabla v + {}^t \nabla v)/2$  et  $W(v) = (\nabla v - {}^t \nabla v)/2$ .

## MODÈLE DE SMAGORINSKI EN TURBULENCE

$$\begin{cases} \frac{\partial v}{\partial t} + (v \cdot \nabla)v - \operatorname{div}(2\eta D(v)) - \mu_h \operatorname{div}(|D(v)|D(v)) + \nabla p = f, \\ \operatorname{div} v = 0. \end{cases}$$

## MODÈLES D'ÉCOULEMENTS NON NEWTONIENS (SANG, GLACIERS, ...)

$$\begin{cases} -\operatorname{div}(\eta(D(v))D(v)) + \nabla p = f, \\ \operatorname{div} v = 0, \end{cases}$$

avec  $\eta(\sigma) = \eta_\infty + (\eta_0 - \eta_\infty)e^{-\beta|\sigma|}$  par exemple.

## 1 INTRODUCTION

- Avant-Propos
- Ecoulements complexes en milieux poreux
- Ecoulements de fluides complexes visqueux incompressibles
- **Autres modèles**
- Cahier des charges

## 2 LE SCHÉMA VOLUMES FINIS BASIQUE POUR LE PROBLÈME DE LAPLACE

- Notations. Construction
- Analyse du schéma VF4
  - Existence. Unicité. Stabilité.
  - Principe du maximum discret
  - Gradient discret. Compacité. Convergence
  - Estimation de l'erreur
- Extensions de VF4
  - Diffusion isotrope hétérogène
  - Second membre non régulier
  - Un exemple un peu plus complexe
- Les limitations de VF4

## ELASTICITÉ

$$\begin{cases} \operatorname{div} \sigma = f, \\ \sigma = 2\mu(x)D(u) + \lambda(x)(\operatorname{div} u)\operatorname{Id} \end{cases}$$

## MODÈLE EN ÉLECTROCARDIOLOGIE

(Coudière–Pierre–Turpault '09)

$$\left\{ \begin{array}{l} u = u_i - u_e, \\ C(\partial_t u + f(u)) = -\operatorname{div} (G_e \nabla u_e), \quad \text{dans le coeur,} \\ \operatorname{div} ((G_i + G_e) \nabla u_e) = -\operatorname{div} (G_i \nabla u), \quad \text{dans le coeur,} \\ \operatorname{div} (G_T \nabla u_T) = 0, \quad \text{dans le thorax,} \\ (G_i \nabla u_e) \cdot \nu = -(G_i \nabla u) \cdot \nu, \quad \text{à l'interface coeur/thorax,} \\ (G_e \nabla u_e) \cdot \nu = -(G_T \nabla u_T) \cdot \nu, \quad \text{à l'interface coeur/thorax.} \end{array} \right.$$

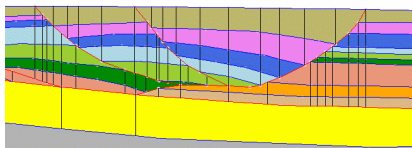
## MAXWELL ...

## 1 INTRODUCTION

- Avant-Propos
- Ecoulements complexes en milieux poreux
- Ecoulements de fluides complexes visqueux incompressibles
- Autres modèles
- Cahier des charges

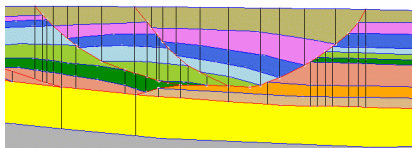
## 2 LE SCHÉMA VOLUMES FINIS BASIQUE POUR LE PROBLÈME DE LAPLACE

- Notations. Construction
- Analyse du schéma VF4
  - Existence. Unicité. Stabilité.
  - Principe du maximum discret
  - Gradient discret. Compacité. Convergence
  - Estimation de l'erreur
- Extensions de VF4
  - Diffusion isotrope hétérogène
  - Second membre non régulier
  - Un exemple un peu plus complexe
- Les limitations de VF4



## PROPRIÉTÉS ATTENDUES DES SCHÉMAS

- Conservation locale de la masse et consistance des flux.
- Préservation des propriétés qualitatives des EDP (existence, unicité, monotonie, etc ...).
- Préservation des bornes physiques de la solution.
- Bonne précision, même sur des maillages grossiers et avec de fortes anisotropies et hétérogénéités.
- Implémentation “facile” et coût de calcul “raisonnable”.

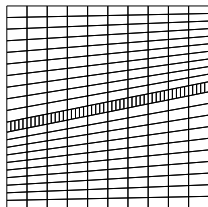
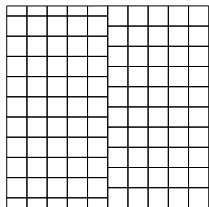
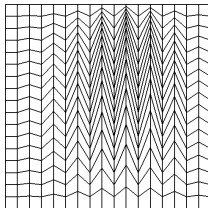
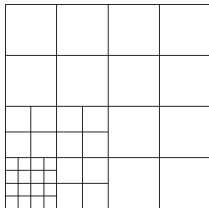


## PROPRIÉTÉS ATTENDUES DES SCHÉMAS

- Conservation locale de la masse et consistance des flux.
- Préservation des propriétés qualitatives des EDP (existence, unicité, monotonie, etc ...).
- Préservation des bornes physiques de la solution.
- Bonne précision, même sur des maillages grossiers et avec de fortes anisotropies et hétérogénéités.
- Implémentation “facile” et coût de calcul “raisonnable”.

## CONTRAINTES FAIBLES SUR LES MAILLAGES

- Maillages non conformes : grilles adaptées (ou pas!) à la géométrie du problème.
- Raffinement local.
- Cellules très déformées.
- Résultats honorables sur des maillages grossiers.



## 1 INTRODUCTION

- Avant-Propos
- Ecoulements complexes en milieux poreux
- Ecoulements de fluides complexes visqueux incompressibles
- Autres modèles
- Cahier des charges

## 2 LE SCHÉMA VOLUMES FINIS BASIQUE POUR LE PROBLÈME DE LAPLACE

- Notations. Construction
- Analyse du schéma VF4
  - Existence. Unicité. Stabilité.
  - Principe du maximum discret
  - Gradient discret. Compacité. Convergence
  - Estimation de l'erreur
- Extensions de VF4
  - Diffusion isotrope hétérogène
  - Second membre non régulier
  - Un exemple un peu plus complexe
- Les limitations de VF4

## 1 INTRODUCTION

- Avant-Propos
- Ecoulements complexes en milieux poreux
- Ecoulements de fluides complexes visqueux incompressibles
- Autres modèles
- Cahier des charges

## 2 LE SCHÉMA VOLUMES FINIS BASIQUE POUR LE PROBLÈME DE LAPLACE

- Notations. Construction
- Analyse du schéma VF4
  - Existence. Unicité. Stabilité.
  - Principe du maximum discret
  - Gradient discret. Compacité. Convergence
  - Estimation de l'erreur
- Extensions de VF4
  - Diffusion isotrope hétérogène
  - Second membre non régulier
  - Un exemple un peu plus complexe
- Les limitations de VF4

(Eymard, Gallouët, Herbin, '00 → '09)

DÉFINITION (pas la plus générale)

- $\Omega$  un ouvert borné polygonal connexe de  $\mathbb{R}^d$ .
- Un maillage **orthogonal admissible**  $\mathcal{T}$  est constitué de :
  - une famille finie de sous-domaines compacts, polyédraux, convexes, non vides de  $\Omega$  notés  $\kappa$  et appelés **volumes de contrôle** vérifiant
    - Si  $\kappa \neq \mathcal{L}$ , on a  $\overset{\circ}{\kappa} \cap \overset{\circ}{\mathcal{L}} = \emptyset$ .
    - $\overline{\Omega} = \bigcup_{\kappa \in \mathcal{T}} \kappa$ .

(Eymard, Gallouët, Herbin, '00 → '09)

**DÉFINITION** (pas la plus générale)

- $\Omega$  un ouvert borné polygonal connexe de  $\mathbb{R}^d$ .
- Un maillage **orthogonal admissible**  $\mathcal{T}$  est constitué de :
  - une famille finie de sous-domaines compacts, polyédraux, convexes, non vides de  $\Omega$  notés  $\kappa$  et appelés **volumes de contrôle** vérifiant
    - Si  $\kappa \neq \mathcal{L}$ , on a  $\overset{\circ}{\kappa} \cap \overset{\circ}{\mathcal{L}} = \emptyset$ .
    - $\overline{\Omega} = \bigcup_{\kappa \in \mathcal{T}} \kappa$ .
  - une famille de points  $(x_\kappa)_{\kappa \in \mathcal{T}}$  tels que
    - Pour tout  $\kappa \in \mathcal{T}$ ,  $x_\kappa \in \overset{\circ}{\kappa}$ .
    - Pour tout  $\kappa, \mathcal{L} \in \mathcal{T}$ ,  $\kappa \neq \mathcal{L}$ , si  $\kappa \cap \mathcal{L}$  est de dimension  $d - 1$ , alors c'est une face de  $\kappa$  et de  $\mathcal{L}$ , notée  $\kappa|\mathcal{L}$  et qui de plus, vérifie la **condition d'orthogonalité**

$$[x_\kappa, x_\mathcal{L}] \perp \kappa|\mathcal{L}. \quad (1)$$

(Eymard, Gallouët, Herbin, '00 → '09)

**DÉFINITION** (pas la plus générale)

- $\Omega$  un ouvert borné polygonal connexe de  $\mathbb{R}^d$ .
- Un maillage **orthogonal admissible**  $\mathcal{T}$  est constitué de :
  - une famille finie de sous-domaines compacts, polyédraux, convexes, non vides de  $\Omega$  notés  $\kappa$  et appelés **volumes de contrôle** vérifiant
    - Si  $\kappa \neq \mathcal{L}$ , on a  $\overset{\circ}{\kappa} \cap \overset{\circ}{\mathcal{L}} = \emptyset$ .
    - $\overline{\Omega} = \bigcup_{\kappa \in \mathcal{T}} \kappa$ .
  - une famille de points  $(x_\kappa)_{\kappa \in \mathcal{T}}$  tels que
    - Pour tout  $\kappa \in \mathcal{T}$ ,  $x_\kappa \in \overset{\circ}{\kappa}$ .
    - Pour tout  $\kappa, \mathcal{L} \in \mathcal{T}$ ,  $\kappa \neq \mathcal{L}$ , si  $\kappa \cap \mathcal{L}$  est de dimension  $d - 1$ , alors c'est une face de  $\kappa$  et de  $\mathcal{L}$ , notée  $\kappa|\mathcal{L}$  et qui de plus, vérifie la **condition d'orthogonalité**

$$[x_\kappa, x_\mathcal{L}] \perp \kappa|\mathcal{L}. \quad (1)$$

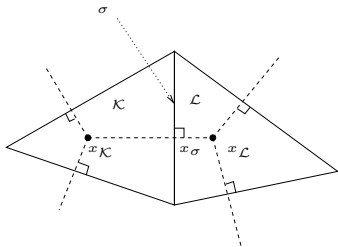
**NOTATIONS**

- Pas du maillage :  $\text{size}(\mathcal{T})$
- Ensembles d'arêtes :  $\mathcal{E}$ ,  $\mathcal{E}_{ext}$ ,  $\mathcal{E}_{int}$ ,  $\mathcal{E}_\kappa$
- Normales :  $\nu_\kappa$ ,  $\nu_{\kappa\sigma}$ ,  $\nu_{\kappa\mathcal{L}}$
- Volumes. Mesures :  $|\kappa|$ ,  $|\sigma|$
- Distances :  $d_{\kappa\sigma}$ ,  $d_{\mathcal{L}\sigma}$ ,  $d_{\kappa\mathcal{L}}$ ,  $d_\sigma$

On considère le problème suivant

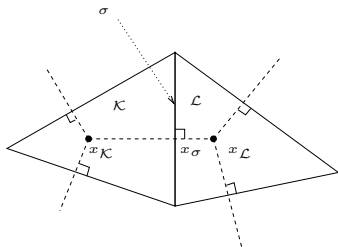
$$\begin{cases} -\Delta u = f, & \text{dans } \Omega \\ u = 0, & \text{sur } \partial\Omega. \end{cases}$$

sur un maillage orthogonal admissible  $\mathcal{T}$  (ici formé de triangles)



BILAN SUR UN VOLUME DE CONTRÔLE  $\kappa$

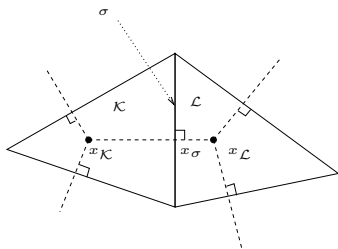
$$|\kappa|f_\kappa \stackrel{\text{def}}{=} \int_\kappa f = \int_\kappa -\Delta u = \sum_{\sigma \in \mathcal{E}_\kappa} \underbrace{- \int_\sigma \nabla u \cdot \boldsymbol{\nu}_{\kappa\sigma}}_{\stackrel{\text{def}}{=} \bar{F}_{\kappa,\sigma}}$$



$$|\mathcal{K}|f_{\mathcal{K}} = \sum_{\sigma \in \mathcal{E}_{\mathcal{K}}} \bar{F}_{\mathcal{K},\sigma}.$$

CONSERVATIVITÉ LOCALE POUR LE PROBLÈME INITIAL

$$\bar{F}_{\mathcal{K},\sigma} = -\bar{F}_{\mathcal{L},\sigma}, \quad \text{si } \sigma = \mathcal{K}|\mathcal{L}.$$



$$|\mathcal{K}|f_{\mathcal{K}} = \sum_{\sigma \in \mathcal{E}_{\mathcal{K}}} \bar{F}_{\mathcal{K},\sigma}.$$

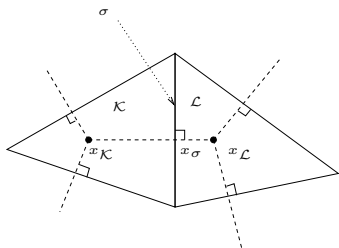
CONSERVATIVITÉ LOCALE POUR LE PROBLÈME INITIAL

$$\bar{F}_{\mathcal{K},\sigma} = -\bar{F}_{\mathcal{L},\sigma}, \quad \text{si } \sigma = \mathcal{K}|\mathcal{L}.$$

INCONNUES AUX CENTRES

On souhaite obtenir  $u_{\mathcal{K}} \sim u(x_{\mathcal{K}})$

**Notation :**  $u^T = (u_{\mathcal{K}})_{\mathcal{K} \in \mathcal{T}} \in \mathbb{R}^T$ .



$$|\mathcal{K}|f_{\mathcal{K}} = \sum_{\sigma \in \mathcal{E}_{\mathcal{K}}} \bar{F}_{\mathcal{K},\sigma}.$$

### CONSERVATIVITÉ LOCALE POUR LE PROBLÈME INITIAL

$$\bar{F}_{\mathcal{K},\sigma} = -\bar{F}_{\mathcal{L},\sigma}, \quad \text{si } \sigma = \mathcal{K}|\mathcal{L}.$$

### INCONNUES AUX CENTRES

On souhaite obtenir  $u_{\mathcal{K}} \sim u(x_{\mathcal{K}})$

**Notation :**  $u^T = (u_{\mathcal{K}})_{\mathcal{K} \in \mathcal{T}} \in \mathbb{R}^T$ .

### FLUX NUMÉRIQUES

**BUT :** définir  $u^T \mapsto F_{\mathcal{K},\sigma}(u^T)$  qui approche le flux réel  $\bar{F}_{\mathcal{K},\sigma}$

### SCHÉMA NUMÉRIQUE

Trouver  $u^T \in \mathbb{R}^T$  tel que  $|\mathcal{K}|f_{\mathcal{K}} = \sum_{\sigma \in \mathcal{E}_{\mathcal{K}}} F_{\mathcal{K},\sigma}(u^T)$  pour tout  $\mathcal{K} \in \mathcal{T}$ .

CAS D'UNE ARÊTE INTÉRIEURE

 $\sigma \in \mathcal{E}_{int}, \sigma = \kappa|_{\mathcal{L}}.$ 

$$x_{\mathcal{L}} - x_{\kappa} = d_{\kappa\mathcal{L}}\boldsymbol{\nu}_{\kappa\mathcal{L}}.$$

$$\text{si } x \in \sigma, \quad (\nabla u(x)) \cdot \boldsymbol{\nu}_{\kappa\mathcal{L}} = \frac{u(x_{\mathcal{L}}) - u(x_{\kappa})}{d_{\kappa\mathcal{L}}} + O(\text{size}(\mathcal{T}))$$

$$\implies \bar{F}_{\kappa,\sigma} = -|\sigma| \frac{u(x_{\mathcal{L}}) - u(x_{\kappa})}{d_{\kappa\mathcal{L}}} + O(\text{size}(\mathcal{T})^2)$$

On pose donc

$$F_{\kappa,\sigma}(u^T) = -|\sigma| \frac{u_{\mathcal{L}} - u_{\kappa}}{d_{\kappa\mathcal{L}}}.$$

CAS D'UNE ARÊTE INTÉRIEURE

 $\sigma \in \mathcal{E}_{int}, \sigma = \kappa|_{\mathcal{L}}$ .

$$x_{\mathcal{L}} - x_{\kappa} = d_{\kappa\mathcal{L}}\boldsymbol{\nu}_{\kappa\mathcal{L}}.$$

$$\text{si } x \in \sigma, \quad (\nabla u(x)) \cdot \boldsymbol{\nu}_{\kappa\mathcal{L}} = \frac{u(x_{\mathcal{L}}) - u(x_{\kappa})}{d_{\kappa\mathcal{L}}} + O(\text{size}(\mathcal{T}))$$

$$\implies \bar{F}_{\kappa,\sigma} = -|\sigma| \frac{u(x_{\mathcal{L}}) - u(x_{\kappa})}{d_{\kappa\mathcal{L}}} + O(\text{size}(\mathcal{T})^2)$$

On pose donc

$$F_{\kappa,\sigma}(u^T) = -|\sigma| \frac{u_{\mathcal{L}} - u_{\kappa}}{d_{\kappa\mathcal{L}}}.$$

**Remarque :** On a la conservativité du schéma  $F_{\kappa,\sigma}(u^T) = -F_{\mathcal{L},\sigma}(u^T)$ 

NOTATION :

$$F_{\kappa,\mathcal{L}}(u^T) \stackrel{\text{def}}{=} F_{\kappa,\sigma}(u^T) = -F_{\mathcal{L},\sigma}(u^T).$$

CAS D'UNE ARÊTE EXTÉRIEURE

 $\sigma \in \mathcal{E}_{ext}$ .

$$x_\sigma - x_\kappa = d_{\kappa\sigma} \boldsymbol{\nu}_{\kappa\sigma}.$$

$$(\nabla u(x)) \cdot \boldsymbol{\nu}_{\kappa\sigma} \sim \frac{u(x_\sigma) - u(x_\kappa)}{d_{\kappa\sigma}} = \frac{0 - u(x_\kappa)}{d_{\kappa\sigma}} \Leftarrow \text{condition au bord}$$

$$\implies \bar{F}_{\kappa,\sigma} = -|\sigma| \frac{-u(x_\kappa)}{d_{\kappa\sigma}} + O(\text{size}(\mathcal{T})^2)$$

On pose donc

$$F_{\kappa,\sigma}(u^T) = -|\sigma| \frac{-u_\kappa}{d_{\kappa\sigma}}.$$

## LE SCHÉMA

On cherche  $u^T = (u_\kappa)_{\kappa \in \mathcal{T}} \in \mathbb{R}^{\mathcal{T}}$  tel que

$$\left\{ \begin{array}{l} \forall K \in \mathcal{T}, \quad \sum_{\sigma \in \mathcal{E}_K} F_{\kappa, \sigma}(u^T) = |K| f_K, \\ F_{\kappa, \sigma}(u^T) = -|\sigma| \frac{u_\mathcal{L} - u_\kappa}{d_{\kappa\mathcal{L}}}, \quad \text{si } \sigma = \kappa|\mathcal{L} \in \mathcal{E}_{int}, \\ F_{\kappa, \sigma}(u^T) = -|\sigma| \frac{-u_\kappa}{d_{\kappa\sigma}}, \quad \text{si } \sigma \in \mathcal{E}_{ext}. \end{array} \right. \quad (\text{VF4})$$

## LE SCHÉMA

On cherche  $u^T = (u_\kappa)_{\kappa \in \mathcal{T}} \in \mathbb{R}^{\mathcal{T}}$  tel que

$$\left\{ \begin{array}{l} \forall K \in \mathcal{T}, \quad \sum_{\sigma \in \mathcal{E}_K} F_{\kappa, \sigma}(u^T) = |K| f_\kappa, \\ F_{\kappa, \sigma}(u^T) = -|\sigma| \frac{u_\mathcal{L} - u_\kappa}{d_{\kappa\mathcal{L}}}, \quad \text{si } \sigma = \kappa|\mathcal{L} \in \mathcal{E}_{int}, \\ F_{\kappa, \sigma}(u^T) = -|\sigma| \frac{-u_\kappa}{d_{\kappa\sigma}}, \quad \text{si } \sigma \in \mathcal{E}_{ext}. \end{array} \right. \quad (\text{VF4})$$

## REMARQUES

- Il s'agit d'un système linéaire de  $N$  équations à  $N$  inconnues ( $N = \text{nb de volumes de contrôle dans } \mathcal{T}$ ).
- **Pourquoi TPFA ? Two Point Flux Approximation**
- **Pourquoi VF4 ?** Stencil de 4 points en 2D sur maillages triangles.
- Sur maillage 2D cartésien uniforme : c'est le schéma à 5 points standard.

## LE SCHÉMA

On cherche  $u^T = (u_\kappa)_{\kappa \in \mathcal{T}} \in \mathbb{R}^{\mathcal{T}}$  tel que

$$\left\{ \begin{array}{l} \forall K \in \mathcal{T}, \quad \sum_{\sigma \in \mathcal{E}_K} F_{\kappa, \sigma}(u^T) = |\mathcal{K}| f_\kappa, \\ F_{\kappa, \sigma}(u^T) = -|\sigma| \frac{u_\mathcal{L} - u_\kappa}{d_{\kappa \mathcal{L}}}, \quad \text{si } \sigma = \kappa | \mathcal{L} \in \mathcal{E}_{int}, \\ F_{\kappa, \sigma}(u^T) = -|\sigma| \frac{-u_\kappa}{d_{\kappa \sigma}}, \quad \text{si } \sigma \in \mathcal{E}_{ext}. \end{array} \right. \quad (\text{VF4})$$

## NOTATIONS - APPROXIMATION CONSTANTE PAR MORCEAUX

- On notera  $f^T = (f_\kappa)_{\kappa \in \mathcal{T}} \in \mathbb{R}^{\mathcal{T}}$ .
- On associe à toute famille  $v^T \in \mathbb{R}^{\mathcal{T}}$ , une fonction

$$v^T(x) = \sum_{\kappa \in \mathcal{T}} v_\kappa \mathbf{1}_\kappa(x).$$

- On a alors

$$\|v^T\|_{L^\infty} = \sup_{\kappa \in \mathcal{T}} |v_\kappa|, \quad \|v^T\|_{L^2} = \left( \sum_{\kappa \in \mathcal{T}} |\mathcal{K}| |v_\kappa|^2 \right)^{\frac{1}{2}}.$$

## 1 INTRODUCTION

- Avant-Propos
- Ecoulements complexes en milieux poreux
- Ecoulements de fluides complexes visqueux incompressibles
- Autres modèles
- Cahier des charges

## 2 LE SCHÉMA VOLUMES FINIS BASIQUE POUR LE PROBLÈME DE LAPLACE

- Notations. Construction
- Analyse du schéma VF4
  - Existence. Unicité. Stabilité.
  - Principe du maximum discret
  - Gradient discret. Compacité. Convergence
  - Estimation de l'erreur
- Extensions de VF4
  - Diffusion isotrope hétérogène
  - Second membre non régulier
  - Un exemple un peu plus complexe
- Les limitations de VF4

## NOTATIONS

- Pour tout couple  $(\kappa, \mathcal{L})$  de volumes de contrôle voisins on note

$$D_{\kappa\mathcal{L}}(u^T) = \frac{u_{\mathcal{L}} - u_{\kappa}}{d_{\kappa\mathcal{L}}}.$$

- Pour toute arête intérieure  $\sigma \in \mathcal{E}_{int}$  on note  $D_{\sigma}(u^T) = D_{\kappa\mathcal{L}}(u^T)$ , où l'on a choisi une *orientation*  $\kappa \rightarrow \mathcal{L}$  une bonne fois pour toutes.
- Pour tout arête extérieure  $\sigma \in \mathcal{E}_{ext}$  on note  $D_{\sigma}(u^T) = \frac{-u_{\kappa}}{d_{\kappa\sigma}}$ .

## LEMME (INTÉGRATION PAR PARTIES DISCRÈTE)

Soit  $u^T \in \mathbb{R}^T$  une éventuelle solution de (VF4), alors pour tout  $v^T \in \mathbb{R}^T$

$$\underbrace{\sum_{\sigma \in \mathcal{E}} d_{\sigma} |\sigma| D_{\sigma}(u^T) D_{\sigma}(v^T)}_{\stackrel{\text{def}}{=} [u^T, v^T]_{1, \mathcal{T}}} = \sum_{\kappa \in \mathcal{T}} |\kappa| v_{\kappa} f_{\kappa} = (v^T, f^T)_{L^2}.$$

$\rightsquigarrow$  La conservativité locale est essentielle ici

## LEMME (INTÉGRATION PAR PARTIES DISCRÈTE)

Soit  $u^T \in \mathbb{R}^T$  une éventuelle solution de (VF4), alors pour tout  $v^T \in \mathbb{R}^T$

$$\underbrace{\sum_{\sigma \in \mathcal{E}} d_\sigma |\sigma| D_\sigma(u^T) D_\sigma(v^T)}_{\stackrel{\text{def}}{=} [u^T, v^T]_{1,T}} = \sum_{\kappa \in \mathcal{T}} |\kappa| v_\kappa f_\kappa = (v^T, f^T)_{L^2}.$$

$\rightsquigarrow$  La conservativité locale est essentielle ici

## PROPOSITION

La forme bilinéaire

$$(u^T, v^T) \in \mathbb{R}^T \times \mathbb{R}^T \mapsto [u^T, v^T]_{1,T},$$

est un produit scalaire sur  $\mathbb{R}^T$  appelé **produit scalaire  $H_0^1$  discret**.  
La norme associée est appelée **norme  $H_0^1$  discrète** et notée  $\|\cdot\|_{1,T}$ .

## THÉORÈME

*Pour toute donnée  $f \in L^2(\Omega)$ , le schéma (VF4) admet une unique solution  $u^T$  et on a*

$$\|u^T\|_{1,\mathcal{T}}^2 \leq \|u^T\|_{L^2} \|f^T\|_{L^2} \leq \|u^T\|_{L^2} \|f\|_{L^2}.$$

## THÉORÈME

Pour toute donnée  $f \in L^2(\Omega)$ , le schéma (VF4) admet une unique solution  $u^\mathcal{T}$  et on a

$$\|u^\mathcal{T}\|_{1,\mathcal{T}}^2 \leq \|u^\mathcal{T}\|_{L^2} \|f^\mathcal{T}\|_{L^2} \leq \|u^\mathcal{T}\|_{L^2} \|f\|_{L^2}.$$

Pour obtenir une estimation  $H_0^1$  discrète exploitable, on utilise le

## THÉORÈME (INÉGALITÉ DE POINCARÉ DISCRÈTE)

Pour tout maillage orthogonal admissible  $\mathcal{T}$ , on a

$$\forall v^\mathcal{T} \in \mathbb{R}^\mathcal{T}, \quad \|v^\mathcal{T}\|_{L^2} \leq \text{diam}(\Omega) \|v^\mathcal{T}\|_{1,\mathcal{T}}.$$

► Preuve de l'inégalité de Poincaré

## MATRICE DU SYSTÈME

- Elle est symétrique définie positive (Cf. l'intégration par parties discrète).
- C'est une  $M$ -matrice  $\Rightarrow$  principe du maximum discret vérifié

$$f^T \geq 0 \implies u^T \geq 0.$$

En effet, la ligne  $\kappa$  de la matrice s'écrit

$$\sum_{\mathcal{L} \in V_{\kappa}} \underbrace{\tau_{\kappa\mathcal{L}}}_{\geq 0} (u_{\kappa} - u_{\mathcal{L}}) = |\kappa| f_{\kappa}.$$

## MATRICE DU SYSTÈME

- Elle est symétrique définie positive (Cf. l'intégration par parties discrète).
- C'est une  $M$ -matrice  $\Rightarrow$  principe du maximum discret vérifié

$$f^T \geq 0 \implies u^T \geq 0.$$

En effet, la ligne  $\kappa$  de la matrice s'écrit

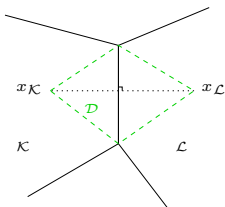
$$\sum_{\mathcal{L} \in V_{\kappa}} \underbrace{\tau_{\kappa\mathcal{L}}}_{\geq 0} (u_{\kappa} - u_{\mathcal{L}}) = |\kappa| f_{\kappa}.$$

## IMPLÉMENTATION DU SCHÉMA

- Parcours du maillage par arêtes et non par volumes de contrôle.
- Informations géométriques utilisées :  $|\sigma|$ ,  $d_{\kappa\mathcal{L}}$ ,  $|\kappa|$ .
- La seule méthode de quadrature utilisée (éventuellement) est pour le terme source.
- Estimation de l'erreur de quadrature  $f^T \mapsto u^T$ ,  $g^T \mapsto v^T$

$$\|u^T - v^T\|_{L^2} \leq C_{\Omega} \|u^T - v^T\|_{1,\mathcal{T}} \leq C_{\Omega}^2 \|f^T - g^T\|_{L^2}.$$

## CELLULE DIAMANT



**GRADIENT DISCRET** Pour tout  $v^T \in \mathbb{R}^T$ , on définit ( $d = \text{dimension}$ )

$$\forall \mathcal{D} \in \mathfrak{D}, \quad \nabla_{\mathcal{D}}^T v^T = \begin{cases} d \frac{u_{\mathcal{L}} - u_{\mathcal{K}}}{d_{\mathcal{K}\mathcal{L}}} \boldsymbol{\nu}_{\mathcal{K}\mathcal{L}} = d D_{\sigma}(u^T) \boldsymbol{\nu}, & \text{si } \sigma \in \mathcal{E}_{int}, \\ d \frac{0 - u_{\mathcal{K}}}{d_{\mathcal{K}\mathcal{L}}} \boldsymbol{\nu}_{\mathcal{K}\sigma} = d D_{\sigma}(u^T) \boldsymbol{\nu}, & \text{si } \sigma \in \mathcal{E}_{ext}, \end{cases}$$

$$\nabla^T v^T = \sum_{\mathcal{D} \in \mathfrak{D}} \mathbf{1}_{\mathcal{D}} \nabla_{\mathcal{D}}^T v^T \in (L^2(\Omega))^2.$$

**LIEN AVEC LA NORME  $H_0^1$  DISCRÈTE**

$$\|v^T\|_{1,T}^2 = \frac{1}{d} \|\nabla^T v^T\|_{L^2}^2.$$

## THÉORÈME (COMPACTITÉ FAIBLE)

Soit  $(\mathcal{T}_n)_n$  une suite de maillages orthogonaux admissibles avec  $\text{size}(\mathcal{T}_n) \rightarrow 0$  et  $(u^{\mathcal{T}_n})_n$  une famille de fonctions discrètes définies sur chacun des maillages telle que

$$\sup_n \|u^{\mathcal{T}_n}\|_{1, \mathcal{T}_n} < +\infty.$$

Alors :

- Il existe une fonction  $u \in L^2(\Omega)$ , et une sous-suite  $(u^{\mathcal{T}_{\varphi(n)}})_n$  qui converge **fortement** vers  $u$  dans  $L^2(\Omega)$ .

## THÉORÈME (COMPACTITÉ FAIBLE)

Soit  $(\mathcal{T}_n)_n$  une suite de maillages orthogonaux admissibles avec  $\text{size}(\mathcal{T}_n) \rightarrow 0$  et  $(u^{\mathcal{T}_n})_n$  une famille de fonctions discrètes définies sur chacun des maillages telle que

$$\sup_n \|u^{\mathcal{T}_n}\|_{1, \mathcal{T}_n} < +\infty.$$

Alors :

- Il existe une fonction  $u \in L^2(\Omega)$ , et une sous-suite  $(u^{\mathcal{T}_{\varphi(n)}})_n$  qui converge **fortement** vers  $u$  dans  $L^2(\Omega)$ .

De plus,

- La fonction  $u$  est dans  $H_0^1(\Omega)$ .
- La suite des gradients discrets  $(\nabla^{\mathcal{T}_{\varphi(n)}} u^{\mathcal{T}_{\varphi(n)}})_n$  converge **faiblement** vers  $\nabla u$  dans  $(L^2(\Omega))^d$ .

► Preuve du Théorème de compacité

## THÉORÈME (CONVERGENCE DU SCHÉMA VF4)

*Soit  $f \in L^2(\Omega)$  et  $u \in H_0^1(\Omega)$ , l'unique solution du problème continu.*

*Soit  $(\mathcal{T}_n)_n$  une famille de maillages orthogonaux admissibles avec  $\text{size}(\mathcal{T}_n) \rightarrow 0$ .*

*Pour tout  $n$ , on note  $u^{\mathcal{T}_n} \in \mathbb{R}^{\mathcal{T}_n}$  l'unique solution du schéma sur le maillage  $\mathcal{T}_n$  pour la donnée  $f$ .*

## THÉORÈME (CONVERGENCE DU SCHÉMA VF4)

Soit  $f \in L^2(\Omega)$  et  $u \in H_0^1(\Omega)$ , l'unique solution du problème continu.

Soit  $(\mathcal{T}_n)_n$  une famille de maillages orthogonaux admissibles avec  $\text{size}(\mathcal{T}_n) \rightarrow 0$ .

Pour tout  $n$ , on note  $u^{\mathcal{T}_n} \in \mathbb{R}^{\mathcal{T}_n}$  l'unique solution du schéma sur le maillage  $\mathcal{T}_n$  pour la donnée  $f$ .

On a :

- La suite  $(u^{\mathcal{T}_n})_n$  converge **fortement** vers  $u$  dans  $L^2(\Omega)$ .
- La suite  $(\nabla^{\mathcal{T}_n} u^{\mathcal{T}_n})_n$  converge **faiblement** vers  $\nabla u$  dans  $(L^2(\Omega))^d$ .

De plus, si  $d \geq 2$ , la convergence **forte** des gradients n'a lieu que si  $f = u = 0$ .

► Preuve de la convergence de VF4

## PRÉALABLES

- Convergence du schéma : pas d'hypothèse de régularité sur  $u$ .
- Pour les estimations d'erreur on va supposer que  $u \in H^2(\Omega)$ .

## PRÉALABLES

- Convergence du schéma : pas d'hypothèse de régularité sur  $u$ .
- Pour les estimations d'erreur on va supposer que  $u \in H^2(\Omega)$ .

## PRINCIPE DE L'ANALYSE

- On souhaite comparer  $u^\mathcal{T}$  avec la projection  $\mathbb{P}^\mathcal{T}u = (u(x_\kappa))_\kappa$  de la solution exacte sur le maillage. On définit l'erreur

$$e^\mathcal{T} = \mathbb{P}^\mathcal{T}u - u^\mathcal{T}.$$

## PRÉALABLES

- Convergence du schéma : pas d'hypothèse de régularité sur  $u$ .
- Pour les estimations d'erreur on va supposer que  $u \in H^2(\Omega)$ .

## PRINCIPE DE L'ANALYSE

- On souhaite comparer  $u^\mathcal{T}$  avec la projection  $\mathbb{P}^\mathcal{T}u = (u(x_\kappa))_\kappa$  de la solution exacte sur le maillage. On définit l'erreur

$$e^\mathcal{T} = \mathbb{P}^\mathcal{T}u - u^\mathcal{T}.$$

- On compare le flux numérique calculé sur  $\mathbb{P}^\mathcal{T}u$  avec le flux exact

$$|\sigma|R_{\mathcal{K},\sigma}(u) \stackrel{\text{def}}{=} F_{\mathcal{K},\sigma}(\mathbb{P}^\mathcal{T}u) - \bar{F}_{\mathcal{K},\sigma}.$$

Il vient (pour  $\sigma \in \mathcal{E}_{int}$ )

$$R_{\mathcal{K},\sigma}(u) = \frac{u(x_\mathcal{L}) - u(x_\mathcal{K})}{d_{\mathcal{K}\mathcal{L}}} - \frac{1}{|\sigma|} \int_\sigma \nabla u \cdot \boldsymbol{\nu}_{\mathcal{K}\mathcal{L}} dx.$$

$$|\sigma|R_{\mathcal{K},\sigma}(u) \stackrel{\text{def}}{=} F_{\mathcal{K},\sigma}(\mathbb{P}^T u) - \bar{F}_{\mathcal{K},\sigma}.$$

- On soustrait le bilan de flux exact

$$|\mathcal{K}|f_{\mathcal{K}} = \sum_{\sigma \in \mathcal{E}_{\mathcal{K}}} \bar{F}_{\mathcal{K},\sigma} = \sum_{\sigma \in \mathcal{E}_{\mathcal{K}}} F_{\mathcal{K},\sigma}(\mathbb{P}^T u) - \sum_{\sigma \in \mathcal{E}_{\mathcal{K}}} |\sigma|R_{\mathcal{K},\sigma}(u),$$

et le schéma numérique

$$|\mathcal{K}|f_{\mathcal{K}} = \sum_{\sigma \in \mathcal{E}_{\mathcal{K}}} F_{\mathcal{K},\sigma}(u^T).$$

On obtient

$$\forall \mathcal{K} \in \mathcal{T}, \quad \sum_{\sigma \in \mathcal{E}_{\mathcal{K}}} F_{\mathcal{K},\sigma}(e^T) = \sum_{\sigma \in \mathcal{E}_{\mathcal{K}}} |\sigma|R_{\mathcal{K},\sigma}(u). \quad (\star)$$

$$|\sigma|R_{\mathcal{K},\sigma}(u) \stackrel{\text{def}}{=} F_{\mathcal{K},\sigma}(\mathbb{P}^T u) - \bar{F}_{\mathcal{K},\sigma}.$$

- On obtient

$$\forall \mathcal{K} \in \mathcal{T}, \quad \sum_{\sigma \in \mathcal{E}_{\mathcal{K}}} F_{\mathcal{K},\sigma}(e^T) = \sum_{\sigma \in \mathcal{E}_{\mathcal{K}}} |\sigma|R_{\mathcal{K},\sigma}(u). \quad (\star)$$

$$|\sigma|R_{\kappa,\sigma}(u) \stackrel{\text{def}}{=} F_{\kappa,\sigma}(\mathbb{P}^T u) - \bar{F}_{\kappa,\sigma}.$$

- On obtient

$$\forall \kappa \in \mathcal{T}, \quad \sum_{\sigma \in \mathcal{E}_\kappa} F_{\kappa,\sigma}(e^T) = \sum_{\sigma \in \mathcal{E}_\kappa} |\sigma|R_{\kappa,\sigma}(u). \quad (\star)$$

- On multiplie  $(\star)$  par  $e_\kappa$  et on somme sur  $\kappa$ .
- L'erreur de consistance est conservative  $R_{\kappa,\sigma}(u) = -R_{\mathcal{L},\sigma}(u)$   
donc on trouve

$$\|e^T\|_{1,\mathcal{T}}^2 = [e^T, e^T]_{1,\mathcal{T}} = \sum_{\sigma \in \mathcal{E}} d_\sigma |\sigma| D_\sigma(e^T)^2 = \sum_{\sigma \in \mathcal{E}} d_\sigma |\sigma| R_\sigma(u) D_\sigma(e^T).$$

- Par Cauchy-Schwarz on trouve

$$\|e^T\|_{1,\mathcal{T}} \leq \left( \sum_{\sigma \in \mathcal{E}} d_\sigma |\sigma| |R_\sigma(u)|^2 \right)^{\frac{1}{2}}.$$

$$\|e^T\|_{1,T} \leq \left( \sum_{\sigma \in \mathcal{E}} d_\sigma |\sigma| |R_\sigma(u)|^2 \right)^{\frac{1}{2}}.$$

### THÉORÈME (ESTIMATION D'ERREUR - Version 1)

Si  $u \in \mathcal{C}^2(\overline{\Omega})$ , il existe  $C$  ne dépendant que de  $\Omega$  telle que

$$\|e^T\|_{L^2} \leq \text{diam}(\Omega) \|e^T\|_{1,T} \leq C \text{size}(\mathcal{T}) \|D^2u\|_{L^\infty},$$

$$\|u - u^T\|_{L^2} \leq C \text{size}(\mathcal{T}) \|D^2u\|_{L^\infty}.$$

### ESTIMATION DE L'ERREUR DE CONSISTANCE

$$\text{Si } u \in \mathcal{C}^2(\overline{\Omega}), \quad |R_\sigma(u)| \leq C \|D^2u\|_\infty \text{size}(\mathcal{T}).$$

$$\|e^T\|_{1,\mathcal{T}} \leq \left( \sum_{\sigma \in \mathcal{E}} d_\sigma |\sigma| |R_\sigma(u)|^2 \right)^{\frac{1}{2}}.$$

### THÉORÈME (ESTIMATION D'ERREUR - Version 2)

Si  $u \in H^2(\Omega)$ , il existe  $C$  ne dépendant que de  $\Omega$  et  $\text{reg}(\mathcal{T})$  telle que

$$\|e^T\|_{L^2} \leq \text{diam}(\Omega) \|e^T\|_{1,\mathcal{T}} \leq C \text{size}(\mathcal{T}) \|D^2u\|_{L^2},$$

$$\|u - u^T\|_{L^2} \leq C \text{size}(\mathcal{T}) \|D^2u\|_{L^2}.$$

### ESTIMATION DE L'ERREUR DE CONSISTANCE

$$\text{Si } u \in H^2(\Omega), \quad |R_\sigma(u)| \leq C \text{size}(\mathcal{T}) \left( \frac{1}{|\mathcal{D}|} \int_{\mathcal{D}} |D^2u|^2 dx \right)^{\frac{1}{2}},$$

► Preuve

où  $C$  ne dépend que la constante de régularité du maillage

$$\text{reg}(\mathcal{T}) = \sup_{\sigma \in \mathcal{E}} \left( \frac{|\sigma|}{d_{\mathcal{K}\sigma}} + \frac{|\sigma|}{d_{\mathcal{L}\sigma}} \right).$$

- Bien qu'on ait (pour des familles régulières de maillages)

$$\|\mathbb{P}^{\mathcal{T}} u - u^{\mathcal{T}}\|_{1,\mathcal{T}} \xrightarrow{\text{size}(\mathcal{T}) \rightarrow 0} 0,$$

on a **jamais** (sauf si  $u = f = 0$ )

$$\nabla^{\mathcal{T}} u^{\mathcal{T}} \xrightarrow{\text{size}(\mathcal{T}) \rightarrow 0} \nabla u.$$

- Bien qu'on ait (pour des familles régulières de maillages)

$$\|\mathbb{P}^T u - u^T\|_{1,\mathcal{T}} \xrightarrow{\text{size}(\mathcal{T}) \rightarrow 0} 0,$$

on a **jamais** (sauf si  $u = f = 0$ )

$$\nabla^T u^T \xrightarrow{\text{size}(\mathcal{T}) \rightarrow 0} \nabla u.$$

- En pratique on observe un phénomène de super-convergence

$$\|e^T\|_{L^2(\Omega)} \sim C \text{size}(\mathcal{T})^2,$$

comme pour les schémas éléments finis (Aubin–Nitschze).

↪ C'est encore un problème ouvert dans le cas général.

## 1 INTRODUCTION

- Avant-Propos
- Ecoulements complexes en milieux poreux
- Ecoulements de fluides complexes visqueux incompressibles
- Autres modèles
- Cahier des charges

## 2 LE SCHÉMA VOLUMES FINIS BASIQUE POUR LE PROBLÈME DE LAPLACE

- Notations. Construction
- Analyse du schéma VF4
  - Existence. Unicité. Stabilité.
  - Principe du maximum discret
  - Gradient discret. Compacité. Convergence
  - Estimation de l'erreur
- Extensions de VF4
  - Diffusion isotrope hétérogène
  - Second membre non régulier
  - Un exemple un peu plus complexe
- Les limitations de VF4

## PROBLÈME ISOTROPE HÉTÉROGÈNE

On veut résoudre

$$\begin{cases} -\operatorname{div}(k(x)\nabla u) = f, & \text{dans } \Omega, \\ u = 0, & \text{sur } \Omega. \end{cases}$$

avec  $k \in L^\infty(\Omega, \mathbb{R})$  et  $\inf_\Omega k > 0$ .

## PROBLÈME ISOTROPE HÉTÉROGÈNE

On veut résoudre

$$\begin{cases} -\operatorname{div}(k(x)\nabla u) = f, & \text{dans } \Omega, \\ u = 0, & \text{sur } \Omega. \end{cases}$$

avec  $k \in L^\infty(\Omega, \mathbb{R})$  et  $\inf_\Omega k > 0$ .

## SCHÉMA VF4

- Structure générale inchangée

$$\forall \kappa \in \mathcal{T}, \quad |\kappa| f_\kappa = \sum_{\sigma \in \mathcal{E}_\kappa} F_{\kappa, \sigma}(u^T),$$

il faut bien sûr changer la définition des flux :

$$F_{\kappa, \sigma}(u^T) = |\sigma| k_\sigma \frac{u_\mathcal{L} - u_\kappa}{d_{\kappa\mathcal{L}}}.$$

- **QUESTION** : Que prendre pour  $k_\sigma$  ?

## THÉORÈME

*Si on construit les  $k_\sigma$  de telle sorte que*

$$\sum_{\sigma \in \mathcal{E}} k_\sigma \mathbf{1}_D \xrightarrow{\text{size}(\mathcal{T}) \rightarrow 0} k, \quad \text{dans } L^2(\Omega),$$

*alors le schéma converge.*

## THÉORÈME

Si on construit les  $k_\sigma$  de telle sorte que

$$\sum_{\sigma \in \mathcal{E}} k_\sigma \mathbf{1}_D \xrightarrow{\text{size}(\mathcal{T}) \rightarrow 0} k, \quad \text{dans } L^2(\Omega),$$

alors le schéma converge.

- OK (sans autre hypothèse) si on prend

$$k_\sigma = \frac{1}{|\mathcal{D}|} \int_{\mathcal{D}} k(x) dx.$$

- Si le maillage est tel que  $k$  est Lip. sur chaque diamant

$$k_\sigma = \frac{1}{|\sigma|} \int_{\sigma} k(x) dx, \quad \text{ou } k_\sigma = k(x_{\mathcal{D}}), x_{\mathcal{D}} \in \mathcal{D}.$$

- Si le maillage est tel que  $k$  est Lip. sur chaque volume de contrôle

$$k_\sigma = \frac{d_{\mathcal{K}\sigma} k_{\mathcal{K}} + d_{\mathcal{L}\sigma} k_{\mathcal{L}}}{d_{\mathcal{K}\mathcal{L}}}, \quad \text{avec } k_{\mathcal{K}} = \frac{1}{|\mathcal{K}|} \int_{\mathcal{K}} k(x) dx, \quad \text{ou } k_{\mathcal{K}} = k(x_{\mathcal{K}}).$$

## LE CAS RÉGULIER

## PROPOSITION

*Si  $k$  est Lipschitzienne sur  $\bar{\Omega}$  et que  $u$  est  $H^2$  sur chaque diamant, alors on a **convergence à l'ordre 1** comme pour le problème de Laplace.*

► Estimation coeff reg VF4

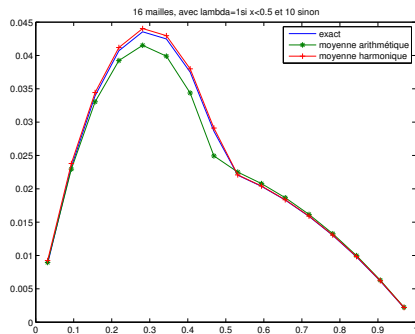
## LE CAS RÉGULIER PAR MORCEAUX

- Si  $k$  est seulement Lipschitzienne sur chaque volume de contrôle, on perd la convergence à l'ordre 1.
- On peut retrouver cette convergence optimale en choisissant

$$k_{\sigma} = \frac{d_{\mathcal{K}\mathcal{L}}}{\frac{d_{\mathcal{K}\sigma}}{k_{\mathcal{K}}} + \frac{d_{\mathcal{L}\sigma}}{k_{\mathcal{L}}}}$$

## EXEMPLE 1D

- $k_{\sigma} = \text{moy. arithmétique}$   
ordre  $\frac{1}{2}$
- $k_{\sigma} = \text{moy. harmonique}$   
ordre 1



D'OÙ VIENT CETTE FORMULE DE MOYENNE HARMONIQUE ?

- La solution  $u$  est continue (au sens des traces sur les arêtes).
- Le gradient de  $u$  **n'est pas** continu.
- Mais, le **flux total**  $k(x)\nabla u \cdot \nu$  est continu (faiblement) aux arêtes.

## D'OÙ VIENT CETTE FORMULE DE MOYENNE HARMONIQUE ?

- La solution  $u$  est continue (au sens des traces sur les arêtes).
- Le gradient de  $u$  **n'est pas** continu.
- Mais, le **flux total**  $k(x)\nabla u \cdot \nu$  est continu (faiblement) aux arêtes.
- On introduit une inconnue artificielle sur l'arête  $u_\sigma$ .
- On définit les flux venant de  $\kappa$  et de  $\mathcal{L}$

$$F_{\kappa,\sigma} = |\sigma|k_\kappa \frac{u_\sigma - u_\kappa}{d_{\kappa\sigma}}, \quad F_{\mathcal{L},\sigma} = |\sigma|k_\mathcal{L} \frac{u_\sigma - u_\mathcal{L}}{d_{\mathcal{L}\sigma}}.$$

## D'OÙ VIENT CETTE FORMULE DE MOYENNE HARMONIQUE ?

- La solution  $u$  est continue (au sens des traces sur les arêtes).
- Le gradient de  $u$  **n'est pas** continu.
- Mais, le **flux total**  $k(x)\nabla u \cdot \nu$  est continu (faiblement) aux arêtes.
- On introduit une inconnue artificielle sur l'arête  $u_\sigma$ .
- On définit les flux venant de  $\kappa$  et de  $\mathcal{L}$

$$F_{\kappa,\sigma} = |\sigma|k_\kappa \frac{u_\sigma - u_\kappa}{d_{\kappa\sigma}}, \quad F_{\mathcal{L},\sigma} = |\sigma|k_\mathcal{L} \frac{u_\sigma - u_\mathcal{L}}{d_{\mathcal{L}\sigma}}.$$

- On **demande** la conservativité locale

$$F_{\kappa,\sigma} = -F_{\mathcal{L},\sigma}.$$

## D'OÙ VIENT CETTE FORMULE DE MOYENNE HARMONIQUE ?

- La solution  $u$  est continue (au sens des traces sur les arêtes).
- Le gradient de  $u$  **n'est pas** continu.
- Mais, le **flux total**  $k(x)\nabla u \cdot \nu$  est continu (faiblement) aux arêtes.
- On introduit une inconnue artificielle sur l'arête  $u_\sigma$ .
- On définit les flux venant de  $\kappa$  et de  $\mathcal{L}$

$$F_{\kappa,\sigma} = |\sigma|k_\kappa \frac{u_\sigma - u_\kappa}{d_{\kappa\sigma}}, \quad F_{\mathcal{L},\sigma} = |\sigma|k_\mathcal{L} \frac{u_\sigma - u_\mathcal{L}}{d_{\mathcal{L}\sigma}}.$$

- On **demande** la conservativité locale

$$F_{\kappa,\sigma} = -F_{\mathcal{L},\sigma}.$$

- On en déduit la valeur de  $u_\sigma$  puis le flux numérique

$$\implies u_\sigma = \frac{\frac{k_\kappa}{d_{\kappa\sigma}} u_\kappa + \frac{k_\mathcal{L}}{d_{\mathcal{L}\sigma}} u_\mathcal{L}}{\frac{k_\kappa}{d_{\kappa\sigma}} + \frac{k_\mathcal{L}}{d_{\mathcal{L}\sigma}}},$$

$$\implies F_{\kappa\mathcal{L}} = |\sigma| \left( \frac{d_{\kappa\mathcal{L}}}{\frac{d_{\kappa\sigma}}{k_\kappa} + \frac{d_{\mathcal{L}\sigma}}{k_\mathcal{L}}} \right) \frac{u_\mathcal{L} - u_\kappa}{d_{\kappa\mathcal{L}}} \quad \blacktriangleright \text{Estimation consistance}$$

## SECOND MEMBRE $H^{-1}$

$$-\Delta u = f,$$

avec  $f \in H^{-1}(\Omega)$ . On écrit  $f = \operatorname{div} G$  avec  $G \in (L^2(\Omega))^d$ .

- **Principe** : On remplace la moyenne de  $f$  par

$$f_{\mathcal{K}} \stackrel{\text{def}}{=} \frac{1}{|\mathcal{K}|} \sum_{\sigma \in \mathcal{E}_{\mathcal{K}}} \underbrace{\int_{\sigma} G(x) \cdot \nu_{\mathcal{K}\sigma} dx}_{\text{pas défini!}}$$

## SECOND MEMBRE $H^{-1}$

$$-\Delta u = f,$$

avec  $f \in H^{-1}(\Omega)$ . On écrit  $f = \operatorname{div} G$  avec  $G \in (L^2(\Omega))^d$ .

- **Principe** : On remplace la moyenne de  $f$  par

$$|\mathcal{K}|f_{\mathcal{K}} \stackrel{\text{def}}{=} \sum_{\sigma \in \mathcal{E}_{\mathcal{K}}} |\sigma| \frac{1}{|\mathcal{D}|} \int_{\mathcal{D}} G(x) \cdot \nu_{\mathcal{K}\sigma} dx.$$

## SECOND MEMBRE $H^{-1}$

$$-\Delta u = f,$$

avec  $f \in H^{-1}(\Omega)$ . On écrit  $f = \operatorname{div} G$  avec  $G \in (L^2(\Omega))^d$ .

- **Principe** : On remplace la moyenne de  $f$  par

$$|\mathcal{K}|f_{\mathcal{K}} \stackrel{\text{def}}{=} \sum_{\sigma \in \mathcal{E}_{\mathcal{K}}} |\sigma| \frac{1}{|\mathcal{D}|} \int_{\mathcal{D}} G(x) \cdot \nu_{\mathcal{K}\sigma} dx.$$

- **Convergence** :

$$\sum_{\mathcal{K} \in \mathcal{T}_n} |\mathcal{K}|f_{\mathcal{K}}\varphi(x_{\mathcal{K}}) = \sum_{\mathcal{K} \in \mathcal{T}_n} \varphi(x_{\mathcal{K}}) \left( \sum_{\sigma \in \mathcal{E}_{\mathcal{K}}} |\sigma| \frac{1}{|\mathcal{D}|} \int_{\mathcal{D}} G(x) \cdot \nu_{\mathcal{K}\sigma} \right).$$

## SECOND MEMBRE $H^{-1}$

$$-\Delta u = f,$$

avec  $f \in H^{-1}(\Omega)$ . On écrit  $f = \operatorname{div} G$  avec  $G \in (L^2(\Omega))^d$ .

- **Principe** : On remplace la moyenne de  $f$  par

$$|\kappa|f_\kappa \stackrel{\text{def}}{=} \sum_{\sigma \in \mathcal{E}_\kappa} |\sigma| \frac{1}{|\mathcal{D}|} \int_{\mathcal{D}} G(x) \cdot \nu_{\kappa\sigma} dx.$$

- **Convergence** :

$$\sum_{\kappa \in \mathcal{T}_n} |\kappa|f_\kappa \varphi(x_\kappa) = \sum_{\sigma \in \mathcal{E}_{int}} |\sigma|(\varphi(x_\kappa) - \varphi(x_\mathcal{L})) \left( \frac{1}{|\mathcal{D}|} \int_{\mathcal{D}} G(x) \cdot \nu_{\kappa\mathcal{L}} \right).$$

## SECOND MEMBRE $H^{-1}$

$$-\Delta u = f,$$

avec  $f \in H^{-1}(\Omega)$ . On écrit  $f = \operatorname{div} G$  avec  $G \in (L^2(\Omega))^d$ .

- **Principe** : On remplace la moyenne de  $f$  par

$$|\mathcal{K}|f_{\mathcal{K}} \stackrel{\text{def}}{=} \sum_{\sigma \in \mathcal{E}_{\mathcal{K}}} |\sigma| \frac{1}{|\mathcal{D}|} \int_{\mathcal{D}} G(x) \cdot \nu_{\mathcal{K}\sigma} dx.$$

- **Convergence** :

$$\sum_{\mathcal{K} \in \mathcal{T}_n} |\mathcal{K}|f_{\mathcal{K}}\varphi(x_{\mathcal{K}}) = - \sum_{\sigma \in \mathcal{E}_{int}} \underbrace{\frac{|\sigma|d_{\mathcal{K}\mathcal{L}}}{d}}_{=|\mathcal{D}|} d \frac{\varphi(x_{\mathcal{L}}) - \varphi(x_{\mathcal{K}})}{d_{\mathcal{K}\mathcal{L}}} \left( \frac{1}{|\mathcal{D}|} \int_{\mathcal{D}} G(x) \cdot \nu_{\mathcal{K}\mathcal{L}} \right)$$

## SECOND MEMBRE $H^{-1}$

$$-\Delta u = f,$$

avec  $f \in H^{-1}(\Omega)$ . On écrit  $f = \operatorname{div} G$  avec  $G \in (L^2(\Omega))^d$ .

- **Principe** : On remplace la moyenne de  $f$  par

$$|\mathcal{K}|f_{\mathcal{K}} \stackrel{\text{def}}{=} \sum_{\sigma \in \mathcal{E}_{\mathcal{K}}} |\sigma| \frac{1}{|\mathcal{D}|} \int_{\mathcal{D}} G(x) \cdot \nu_{\mathcal{K}\sigma} dx.$$

- **Convergence** :

$$\sum_{\mathcal{K} \in \mathcal{T}_n} |\mathcal{K}|f_{\mathcal{K}}\varphi(x_{\mathcal{K}}) = - \sum_{\sigma \in \mathcal{E}_{int}} \int_{\mathcal{D}} \left( d \frac{\varphi(x_{\mathcal{L}}) - \varphi(x_{\mathcal{K}})}{d_{\mathcal{K}\mathcal{L}}} \nu_{\mathcal{K}\mathcal{L}} \right) \cdot G(x) dx.$$

## SECOND MEMBRE $H^{-1}$

$$-\Delta u = f,$$

avec  $f \in H^{-1}(\Omega)$ . On écrit  $f = \operatorname{div} G$  avec  $G \in (L^2(\Omega))^d$ .

- **Principe** : On remplace la moyenne de  $f$  par

$$|\mathcal{K}|f_{\mathcal{K}} \stackrel{\text{def}}{=} \sum_{\sigma \in \mathcal{E}_{\mathcal{K}}} |\sigma| \frac{1}{|\mathcal{D}|} \int_{\mathcal{D}} G(x) \cdot \nu_{\mathcal{K}\sigma} dx.$$

- **Convergence** :

$$\begin{aligned} \sum_{\mathcal{K} \in \mathcal{T}_n} |\mathcal{K}|f_{\mathcal{K}}\varphi(x_{\mathcal{K}}) &= - \int_{\Omega} (\nabla^{T_n} \mathbb{P}^{T_n} \varphi) \cdot G(x) dx \\ &\xrightarrow{n \rightarrow \infty} - \int_{\Omega} \nabla \varphi \cdot G(x) dx = \langle f, \varphi \rangle_{H^{-1}, H_0^1}. \end{aligned}$$

## SECOND MEMBRE $H^{-1}$

$$-\Delta u = f,$$

avec  $f \in H^{-1}(\Omega)$ . On écrit  $f = \operatorname{div} G$  avec  $G \in (L^2(\Omega))^d$ .

- **Principe** : On remplace la moyenne de  $f$  par

$$|\mathcal{K}|f_{\mathcal{K}} \stackrel{\text{def}}{=} \sum_{\sigma \in \mathcal{E}_{\mathcal{K}}} |\sigma| \frac{1}{|\mathcal{D}|} \int_{\mathcal{D}} G(x) \cdot \nu_{\mathcal{K}\sigma} dx.$$

- **Convergence** :

$$\begin{aligned} \sum_{\mathcal{K} \in \mathcal{T}_n} |\mathcal{K}|f_{\mathcal{K}}\varphi(x_{\mathcal{K}}) &= - \int_{\Omega} (\nabla^{T_n} \mathbb{P}^{T_n} \varphi) \cdot G(x) dx \\ &\xrightarrow{n \rightarrow \infty} - \int_{\Omega} \nabla \varphi \cdot G(x) dx = \langle f, \varphi \rangle_{H^{-1}, H_0^1}. \end{aligned}$$

- **Remarques** :

- Le schéma dépend du choix de  $G$ .
- Estimation d'erreur par interpolation pour des  $u \in H^s(\Omega)$ ,  $1 < s < 2$ .

## D'AUTRES SITUATIONS POSSIBLES

- **Sauts de flux :** Si  $f = \rho(x)\delta_\Gamma$  où  $\Gamma$  est une courbe polygonale et si le maillage suit cette courbe.

$$|\mathcal{K}|f_{\mathcal{K}} \stackrel{\text{def}}{=} \sum_{\substack{\sigma \in \mathcal{E}_{\mathcal{K}} \\ \sigma \subset \Gamma}} |\sigma| \frac{d_{\mathcal{L}\sigma}}{d_{\mathcal{K}\sigma} + d_{\mathcal{L}\sigma}} \rho(x_\sigma).$$

## D'AUTRES SITUATIONS POSSIBLES

- **Sauts de flux :** Si  $f = \rho(x)\delta_\Gamma$  où  $\Gamma$  est une courbe polygonale et si le maillage suit cette courbe.

$$|\mathcal{K}|f_{\mathcal{K}} \stackrel{\text{def}}{=} \sum_{\substack{\sigma \in \mathcal{E}_{\mathcal{K}} \\ \sigma \subset \Gamma}} |\sigma| \frac{d_{\mathcal{L}\sigma}}{d_{\mathcal{K}\sigma} + d_{\mathcal{L}\sigma}} \rho(x_\sigma).$$

- **Sauts de flux et d'inconnue :**

On définit

$$F_{\mathcal{K},\sigma} \stackrel{\text{def}}{=} |\sigma| \frac{u_{\mathcal{K},\sigma} - u_{\mathcal{K}}}{d_{\mathcal{K}\sigma}},$$

$$F_{\mathcal{L},\sigma} \stackrel{\text{def}}{=} |\sigma| \frac{u_{\mathcal{L},\sigma} - u_{\mathcal{L}}}{d_{\mathcal{L}\sigma}}.$$

On impose

$$u_{\mathcal{L},\sigma} - u_{\mathcal{K},\sigma} = S_\sigma \leftarrow \text{donnée du saut de } u$$

$$F_{\mathcal{L},\sigma} + F_{\mathcal{K},\sigma} = \tilde{S}_\sigma \leftarrow \text{donnée du saut de flux.}$$

De ces deux égalités, on tire les valeurs de  $u_{\mathcal{K},\sigma}$  et  $u_{\mathcal{L},\sigma}$  en fonction de  $u_{\mathcal{K}}, u_{\mathcal{L}}$  et des données  $S_\sigma$  et  $\tilde{S}_\sigma$ .

## ÉCOULEMENT EN MILIEU POREUX FRACTURÉ

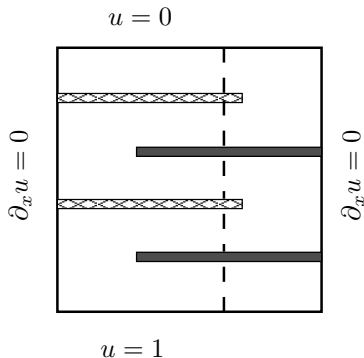
$$\begin{cases} \operatorname{div} v = 0, & \text{Conservation de la masse,} \\ v = -K(x)\nabla p, & \text{Loi de Darcy.} \end{cases}$$

Matrice poreuse :  $K(x) = \operatorname{Id}$ .

Fractures de gauche :  $K(x) = 10^{-2}\operatorname{Id}$ .

Fractures de droite :

$$\mathbf{K} = \begin{pmatrix} 10^2 & 0 \\ 0 & 10^{-2} \end{pmatrix}.$$



Domaine  $\Omega = ]0, 1[^2$ ,    Épaisseur des fractures :  $b_f = 10^{-2}$

## MODÈLE ASYMPTOTIQUE

- Les fractures sont modélisées par des segments.
- Dans la matrice poreuse on résout la loi de Darcy standard.
- Sur chaque fracture  $\Sigma$  on écrit une loi de Darcy moyennée.

$$\left\{ \begin{array}{l} \overline{\nabla u \cdot \boldsymbol{\nu}}|_{\Sigma} = -K_{f,n} \frac{[[u]]_{\Sigma}}{b_f}, \\ u_f = \bar{u}|_{\Sigma}, \\ -\partial_s(b_f K_{f,\tau} \partial_s u_f) = -[[\nabla u \cdot \boldsymbol{\nu}]]_{\Sigma}. \end{array} \right.$$

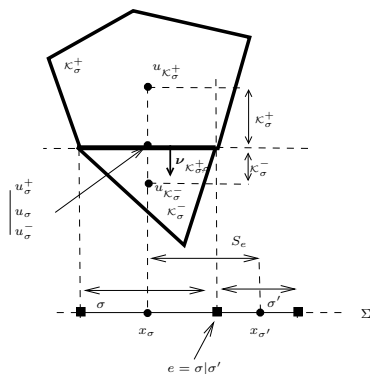
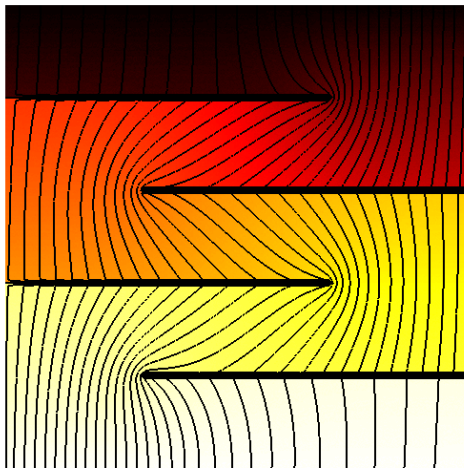


SCHÉMA DE TYPE VF4

(Angot–B.–Hubert, '09)



## 1 INTRODUCTION

- Avant-Propos
- Ecoulements complexes en milieux poreux
- Ecoulements de fluides complexes visqueux incompressibles
- Autres modèles
- Cahier des charges

## 2 LE SCHÉMA VOLUMES FINIS BASIQUE POUR LE PROBLÈME DE LAPLACE

- Notations. Construction
- Analyse du schéma VF4
  - Existence. Unicité. Stabilité.
  - Principe du maximum discret
  - Gradient discret. Compacité. Convergence
  - Estimation de l'erreur
- Extensions de VF4
  - Diffusion isotrope hétérogène
  - Second membre non régulier
  - Un exemple un peu plus complexe
- Les limitations de VF4

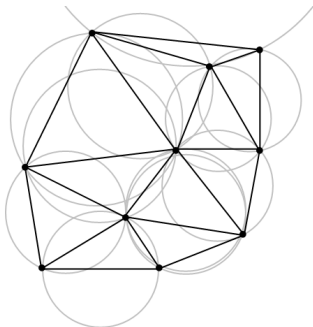
- Les maillages cartésiens : les volumes de contrôle sont des parallélépipèdes rectangles et  $x_{\mathcal{K}}$  est le centre de gravité.

- Les maillages cartésiens :
- Les maillages triangles conformes :

On prend  $x_{\kappa}$  =centre du cercle circonscrit ; **MAIS :**

- $x_{\kappa} \in \kappa$  n'est pas garanti (même  $x_{\kappa} \in \Omega$  n'est pas certain).
- On peut avoir  $x_{\kappa} = x_{\mathcal{L}}$  pour  $\kappa \neq \mathcal{L} \Rightarrow d_{\kappa\mathcal{L}} = 0!$
- Généralisation possible au cas où

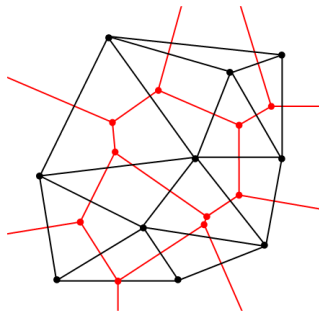
$$(x_{\mathcal{L}} - x_{\kappa}) \cdot \nu_{\kappa\mathcal{L}} > 0 \quad \Leftrightarrow \text{Condition de Delaunay}$$



- Pour presque toute famille de points dans le plan, il existe une unique triangulation de Delaunay correspondant.

- Construction duale :

Diagramme de Voronoï d'un ensemble de points.



- Il existe des algorithmes assez efficaces de triangulation de Delaunay et de construction du diagramme de Voronoï.

- Sur un maillage triangle non conforme : la condition d'orthogonalité est impossible à remplir.
- Sur un maillage quadrangle non cartésien : Idem

- Sur un maillage triangle non conforme : la condition d'orthogonalité est impossible à remplir.
- Sur un maillage quadrangle non cartésien : Idem
- Dans le cas anisotrope homogène :

$$-\operatorname{div}(A\nabla u) = f,$$

la condition devient la **A-orthogonalité**

$$x_{\mathcal{L}} - x_{\mathcal{K}} \parallel A\nu_{\mathcal{K}\mathcal{L}} \iff A^{-1}(x_{\mathcal{L}} - x_{\mathcal{K}}) \perp \sigma.$$

↷ Le choix du maillage dépend du problème à résoudre.

- Sur un maillage triangle non conforme : la condition d'orthogonalité est impossible à remplir.
- Sur un maillage quadrangle non cartésien : Idem
- Dans le cas anisotrope homogène :

$$-\operatorname{div}(A\nabla u) = f,$$

la condition devient la **A-orthogonalité**

$$x_{\mathcal{L}} - x_{\mathcal{K}} \parallel A\nu_{\mathcal{K}\mathcal{L}} \iff A^{-1}(x_{\mathcal{L}} - x_{\mathcal{K}}) \perp \sigma.$$

↔ Le choix du maillage dépend du problème à résoudre.

- Dans le cas anisotrope hétérogène :

$$-\operatorname{div}(A(x)\nabla u) = f,$$

la condition va dépendre de  $x$  ...

- Sur un maillage triangle non conforme : la condition d'orthogonalité est impossible à remplir.
- Sur un maillage quadrangle non cartésien : Idem
- Dans le cas anisotrope homogène :

$$-\operatorname{div}(A\nabla u) = f,$$

la condition devient la **A-orthogonalité**

$$x_{\mathcal{L}} - x_{\mathcal{K}} \parallel A\nu_{\mathcal{K}\mathcal{L}} \iff A^{-1}(x_{\mathcal{L}} - x_{\mathcal{K}}) \perp \sigma.$$

$\rightsquigarrow$  Le choix du maillage dépend du problème à résoudre.

- Dans le cas anisotrope hétérogène :

$$-\operatorname{div}(A(x)\nabla u) = f,$$

la condition va dépendre de  $x$  ...

- Pour des problèmes non linéaires :

$$-\operatorname{div}(\varphi(\nabla u)) = f,$$

il est impossible d'approcher le flux par un schéma à deux points.

## LE GRADIENT DISCRET VF4 N'EST PAS BON

- Il n'approche correctement le gradient que dans une direction.
- La convergence du gradient est toujours en un sens faible.

## LE GRADIENT DISCRET VF4 N'EST PAS BON

- Il n'approche correctement le gradient que dans une direction.
- La convergence du gradient est toujours en un sens faible.

**BILAN :**

**Il faut utiliser plus de 2 inconnues pour approcher les flux  
 $\approx$  approcher le gradient de la solution dans toutes les directions**

- Schémas cell-centered : On utilise les inconnues sur les mailles voisines.
- Schémas primal/dual : On utilise de nouvelles inconnues aux sommets (maillage dual).
- Schémas mimétiques/hybrides/mixtes : On utilise des inconnues aux arêtes.

FIN DE LA PREMIÈRE PARTIE !

- On suppose  $\Omega$  convexe (pour simplifier).
- On fixe un vecteur unitaire  $\xi \in \mathbb{R}^2$  et pour tout  $x \in \Omega$  on note  $y(x)$  la *projection* de  $x$  sur  $\partial\Omega$  dans la direction  $\xi$ .
- Pour toute arête  $\sigma \in \mathcal{E}$ , on note

$$\chi_\sigma(x, y) = \begin{cases} 1 & \text{si } [x, y] \cap \sigma \neq \emptyset \\ 0 & \text{si } [x, y] \cap \sigma = \emptyset. \end{cases}$$

- On suppose  $\Omega$  convexe (pour simplifier).
- On fixe un vecteur unitaire  $\xi \in \mathbb{R}^2$  et pour tout  $x \in \Omega$  on note  $y(x)$  la *projection* de  $x$  sur  $\partial\Omega$  dans la direction  $\xi$ .
- Pour toute arête  $\sigma \in \mathcal{E}$ , on note

$$\chi_\sigma(x, y) = \begin{cases} 1 & \text{si } [x, y] \cap \sigma \neq \emptyset \\ 0 & \text{si } [x, y] \cap \sigma = \emptyset. \end{cases}$$

- On note

$$\tilde{\Omega} = \{x \in \Omega, [x, y(x)] \text{ ne rencontre aucun sommet} \\ \text{et ne contient aucune arête}\}.$$

On vérifie que  $\tilde{\Omega}^c$  est de mesure nulle dans  $\Omega$ .

- On suppose  $\Omega$  convexe (pour simplifier).
- On fixe un vecteur unitaire  $\xi \in \mathbb{R}^2$  et pour tout  $x \in \Omega$  on note  $y(x)$  la *projection* de  $x$  sur  $\partial\Omega$  dans la direction  $\xi$ .
- Pour toute arête  $\sigma \in \mathcal{E}$ , on note

$$\chi_\sigma(x, y) = \begin{cases} 1 & \text{si } [x, y] \cap \sigma \neq \emptyset \\ 0 & \text{si } [x, y] \cap \sigma = \emptyset. \end{cases}$$

- On note

$$\tilde{\Omega} = \left\{ x \in \Omega, [x, y(x)] \text{ ne rencontre aucun sommet} \right. \\ \left. \text{et ne contient aucune arête} \right\}.$$

On vérifie que  $\tilde{\Omega}^c$  est de mesure nulle dans  $\Omega$ .

- Soit maintenant  $\kappa \in \mathcal{T}$  et  $x \in \kappa \cap \tilde{\Omega}$ .  
En parcourant le segment  $[x, y(x)]$ , on rencontre un nombre fini de volumes de contrôle noté  $(\kappa_i)_{1 \leq i \leq m}$  avec  $\kappa_1 = \kappa$  et  $\kappa_m$  est un volume de contrôle du bord.

- On a donc une somme télescopique

$$u_{\mathcal{K}} = u_{\mathcal{K}_1} = \sum_{i=1}^{m-1} (u_{\mathcal{K}_i} - u_{\mathcal{K}_{i+1}}) + u_{\mathcal{K}_m},$$

$$|u_{\mathcal{K}}| \leq \sum_{i=1}^{m-1} |u_{\mathcal{K}_i} - u_{\mathcal{K}_{i+1}}| + |0 - u_{\mathcal{K}_m}|,$$

- Il vient

$$|u_{\mathcal{K}}| \leq \sum_{\sigma \in \mathcal{E}} d_{\sigma} |D_{\sigma}(u^T)| \chi_{\sigma}(x, y(x)).$$

- On a donc une somme télescopique

$$u_{\mathcal{K}} = u_{\mathcal{K}_1} = \sum_{i=1}^{m-1} (u_{\mathcal{K}_i} - u_{\mathcal{K}_{i+1}}) + u_{\mathcal{K}_m},$$

$$|u_{\mathcal{K}}| \leq \sum_{i=1}^{m-1} |u_{\mathcal{K}_i} - u_{\mathcal{K}_{i+1}}| + |0 - u_{\mathcal{K}_m}|,$$

- Il vient

$$|u_{\mathcal{K}}| \leq \sum_{\sigma \in \mathcal{E}} d_{\sigma} \sqrt{c_{\sigma}} \frac{1}{\sqrt{c_{\sigma}}} |D_{\sigma}(u^T)| \chi_{\sigma}(x, y(x)).$$

avec  $c_{\sigma} = |\nu_{\sigma} \cdot \xi|$  (qui est non nul car  $x \in \tilde{\Omega}$ ).

- On a donc une somme télescopique

$$u_{\mathcal{K}} = u_{\mathcal{K}_1} = \sum_{i=1}^{m-1} (u_{\mathcal{K}_i} - u_{\mathcal{K}_{i+1}}) + u_{\mathcal{K}_m},$$

$$|u_{\mathcal{K}}| \leq \sum_{i=1}^{m-1} |u_{\mathcal{K}_i} - u_{\mathcal{K}_{i+1}}| + |0 - u_{\mathcal{K}_m}|,$$

- Il vient

$$|u_{\mathcal{K}}| \leq \sum_{\sigma \in \mathcal{E}} d_{\sigma} \sqrt{c_{\sigma}} \frac{1}{\sqrt{c_{\sigma}}} |D_{\sigma}(u^T)| \chi_{\sigma}(x, y(x)).$$

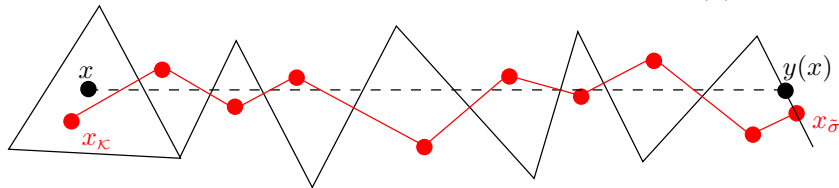
avec  $c_{\sigma} = |\nu_{\sigma} \cdot \xi|$  (qui est non nul car  $x \in \tilde{\Omega}$ ).

- Par Cauchy-Schwarz (rappel :  $x \in \mathcal{K}$ )

$$|u_{\mathcal{K}}|^2 \leq \left( \sum_{\sigma \in \mathcal{E}} d_{\sigma} c_{\sigma} \chi_{\sigma}(x, y(x)) \right) \left( \sum_{\sigma \in \mathcal{E}} \frac{d_{\sigma}}{c_{\sigma}} |D_{\sigma}(u^T)|^2 \chi_{\sigma}(x, y(x)) \right).$$

$$|u_{\mathcal{K}}|^2 \leq \left( \sum_{\sigma \in \mathcal{E}} d_{\sigma} c_{\sigma} \chi_{\sigma}(x, y(x)) \right) \left( \sum_{\sigma \in \mathcal{E}} \frac{d_{\sigma}}{c_{\sigma}} |D_{\sigma}(u^T)|^2 \chi_{\sigma}(x, y(x)) \right).$$

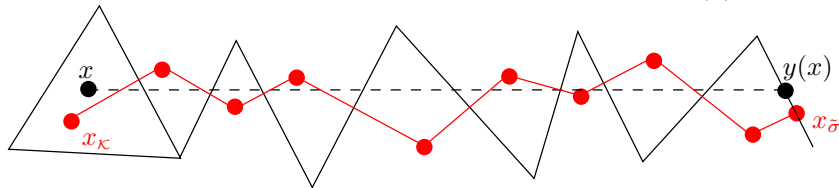
ESTIMATION DU PREMIER TERME Soit  $\tilde{\sigma} \in \mathcal{E}_{ext}$  telle que  $y(x) \in \tilde{\sigma}$ .



$$\sum_{i=1}^{m-1} (x_{\mathcal{K}_i} - x_{\mathcal{K}_{i+1}}) + x_{\mathcal{K}_m} - x_{\tilde{\sigma}} = x_{\mathcal{K}} - x_{\tilde{\sigma}},$$

$$|u_{\mathcal{K}}|^2 \leq \left( \sum_{\sigma \in \mathcal{E}} d_{\sigma} c_{\sigma} \chi_{\sigma}(x, y(x)) \right) \left( \sum_{\sigma \in \mathcal{E}} \frac{d_{\sigma}}{c_{\sigma}} |D_{\sigma}(u^T)|^2 \chi_{\sigma}(x, y(x)) \right).$$

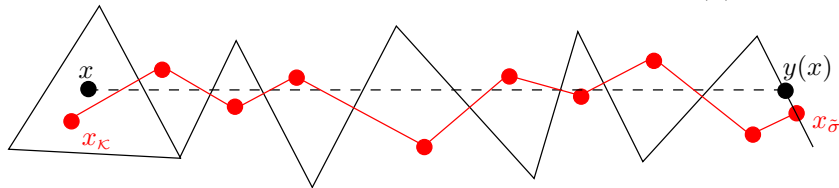
ESTIMATION DU PREMIER TERME Soit  $\tilde{\sigma} \in \mathcal{E}_{ext}$  telle que  $y(x) \in \tilde{\sigma}$ .



$$\sum_{i=1}^{m-1} (x_{\mathcal{K}_i} - x_{\mathcal{K}_{i+1}}) \cdot \xi + (x_{\mathcal{K}_m} - x_{\tilde{\sigma}}) \cdot \xi = (x_{\mathcal{K}} - x_{\tilde{\sigma}}) \cdot \xi,$$

$$|u_{\kappa}|^2 \leq \left( \sum_{\sigma \in \mathcal{E}} d_{\sigma} c_{\sigma} \chi_{\sigma}(x, y(x)) \right) \left( \sum_{\sigma \in \mathcal{E}} \frac{d_{\sigma}}{c_{\sigma}} |D_{\sigma}(u^T)|^2 \chi_{\sigma}(x, y(x)) \right).$$

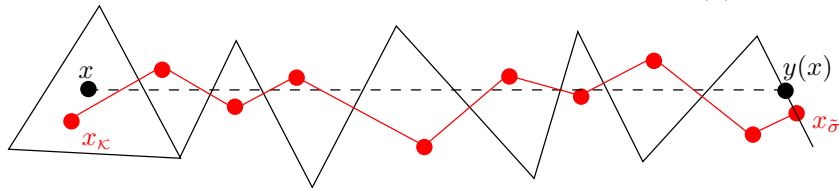
ESTIMATION DU PREMIER TERME Soit  $\tilde{\sigma} \in \mathcal{E}_{ext}$  telle que  $y(x) \in \tilde{\sigma}$ .



$$- \sum_{i=1}^{m-1} d_{\kappa_i \kappa_{i+1}} \nu_{\kappa_i \kappa_{i+1}} \cdot \xi - d_{\kappa_m \tilde{\sigma}} \nu_{\kappa_m \tilde{\sigma}} \cdot \xi = (x_{\kappa} - x_{\tilde{\sigma}}) \cdot \xi,$$

$$|u_{\mathcal{K}}|^2 \leq \left( \sum_{\sigma \in \mathcal{E}} d_{\sigma} c_{\sigma} \chi_{\sigma}(x, y(x)) \right) \left( \sum_{\sigma \in \mathcal{E}} \frac{d_{\sigma}}{c_{\sigma}} |D_{\sigma}(u^T)|^2 \chi_{\sigma}(x, y(x)) \right).$$

ESTIMATION DU PREMIER TERME Soit  $\tilde{\sigma} \in \mathcal{E}_{ext}$  telle que  $y(x) \in \tilde{\sigma}$ .



$$\sum_{\sigma \in \mathcal{E}} d_{\sigma} c_{\sigma} \chi_{\sigma}(x, y(x)) = |(x_{\mathcal{K}} - x_{\tilde{\sigma}}) \cdot \xi| \leq \text{diam}(\Omega).$$

$$\forall \kappa \in \mathcal{T}, \forall x \in \kappa \cap \tilde{\Omega}, |u_\kappa|^2 \leq \text{diam}(\Omega) \left( \sum_{\sigma \in \mathcal{E}} \frac{d_\sigma}{c_\sigma} |D_\sigma(u^\mathcal{T})|^2 \chi_\sigma(x, y(x)) \right).$$

$$\forall \kappa \in \mathcal{T}, \forall x \in \kappa \cap \tilde{\Omega}, |u_\kappa|^2 \leq \text{diam}(\Omega) \left( \sum_{\sigma \in \mathcal{E}} \frac{d_\sigma}{c_\sigma} |D_\sigma(u^\mathcal{T})|^2 \chi_\sigma(x, y(x)) \right).$$

On intègre sur  $\kappa \cap \tilde{\Omega}$  par rapport à  $x$ , puis on somme sur  $\kappa \in \mathcal{T}$

$$\sum_{\kappa \in \mathcal{T}} |\kappa| |u_\kappa|^2 \leq \text{diam}(\Omega) \sum_{\sigma \in \mathcal{E}} \frac{d_\sigma}{c_\sigma} |D_\sigma(u^\mathcal{T})|^2 \left( \int_{\Omega} \chi_\sigma(x, y(x)) dx \right),$$

$$\forall \kappa \in \mathcal{T}, \forall x \in \kappa \cap \tilde{\Omega}, |u_\kappa|^2 \leq \text{diam}(\Omega) \left( \sum_{\sigma \in \mathcal{E}} \frac{d_\sigma}{c_\sigma} |D_\sigma(u^\tau)|^2 \chi_\sigma(x, y(x)) \right).$$

On intègre sur  $\kappa \cap \tilde{\Omega}$  par rapport à  $x$ , puis on somme sur  $\kappa \in \mathcal{T}$

$$\sum_{\kappa \in \mathcal{T}} |\kappa| |u_\kappa|^2 \leq \text{diam}(\Omega) \sum_{\sigma \in \mathcal{E}} \frac{d_\sigma}{c_\sigma} |D_\sigma(u^\tau)|^2 \left( \int_{\Omega} \chi_\sigma(x, y(x)) dx \right),$$

## EVALUATION DE L'INTÉGRALE

$$\int_{\Omega} \chi_\sigma(x, y(x)) dx \leq \text{diam}(\Omega) |\sigma| c_\sigma.$$

$$\forall \kappa \in \mathcal{T}, \forall x \in \kappa \cap \tilde{\Omega}, |u_\kappa|^2 \leq \text{diam}(\Omega) \left( \sum_{\sigma \in \mathcal{E}} \frac{d_\sigma}{c_\sigma} |D_\sigma(u^\tau)|^2 \chi_\sigma(x, y(x)) \right).$$

On intègre sur  $\kappa \cap \tilde{\Omega}$  par rapport à  $x$ , puis on somme sur  $\kappa \in \mathcal{T}$

$$\sum_{\kappa \in \mathcal{T}} |\kappa| |u_\kappa|^2 \leq \text{diam}(\Omega) \sum_{\sigma \in \mathcal{E}} \frac{d_\sigma}{c_\sigma} |D_\sigma(u^\tau)|^2 \left( \int_{\Omega} \chi_\sigma(x, y(x)) dx \right),$$

## EVALUATION DE L'INTÉGRALE

$$\int_{\Omega} \chi_\sigma(x, y(x)) dx \leq \text{diam}(\Omega) |\sigma| c_\sigma.$$

## CONCLUSION

$$\|u^\tau\|_{L^2}^2 = \sum_{\kappa \in \mathcal{T}} |\kappa| |u_\kappa|^2 \leq \text{diam}(\Omega)^2 \sum_{\sigma \in \mathcal{E}} |\sigma| d_\sigma |D_\sigma(u^\tau)|^2 = \text{diam}(\Omega)^2 \|u^\tau\|_{1, \mathcal{T}}^2.$$

- Soit  $u^n \in L^2(\mathbb{R}^2)$  le prolongement par 0 de  $u^{\tau_n} \in L^2(\Omega)$ .
- On va utiliser le théorème de Kolmogorov, pour cela il suffit d'obtenir une estimation sur les translatées

$$\|u^n(\cdot + \eta) - u^n\|_{L^2} \xrightarrow{\eta \rightarrow 0} 0, \quad \text{unif. par rapport à } n.$$

- Soit  $u^n \in L^2(\mathbb{R}^2)$  le prolongement par 0 de  $u^{\tau_n} \in L^2(\Omega)$ .
- On va utiliser le théorème de Kolmogorov, pour cela il suffit d'obtenir une estimation sur les translatées

$$\|u^n(\cdot + \eta) - u^n\|_{L^2} \xrightarrow{\eta \rightarrow 0} 0, \quad \text{unif. par rapport à } n.$$

- On fixe  $\eta \in \mathbb{R}^2$  non nul. Par sommes télescopiques on a

$$|u^n(x + \eta) - u^n(x)| \leq \sum_{\sigma \in \mathcal{E}} d_\sigma |D_\sigma(u^{\tau_n})| \chi_\sigma(x, x + \eta),$$

et par Cauchy-Schwarz

$$\begin{aligned} |u^n(x + \eta) - u^n(x)|^2 &\leq \left( \sum_{\sigma \in \mathcal{E}} \chi_\sigma(x, x + \eta) d_\sigma c_\sigma \right) \\ &\quad \times \left( \sum_{\sigma \in \mathcal{E}} \chi_\sigma(x, x + \eta) \frac{d_\sigma}{c_\sigma} |D_\sigma(u^{\tau_n})|^2 \right), \end{aligned}$$

avec  $c_\sigma = |\nu_\sigma \cdot \frac{\eta}{|\eta|}|$ .

$$|u^n(x + \eta) - u^n(x)|^2 \leq \left( \sum_{\sigma \in \mathcal{E}} \chi_\sigma(x, x + \eta) d_\sigma c_\sigma \right) \times \left( \sum_{\sigma \in \mathcal{E}} \chi_\sigma(x, x + \eta) \frac{d_\sigma}{c_\sigma} |D_\sigma(u^{\tau, n})|^2 \right),$$

avec  $c_\sigma = |\nu \cdot \frac{\eta}{|\eta|}|$ .

### ESTIMATION DU PREMIER TERME

- On peut se ramener au cas où  $[x, x + \eta] \subset \Omega$ .
- Soient alors  $\kappa, \mathcal{L} \in \mathcal{T}$  tels que  $x \in \kappa$  et  $x + \eta \in \mathcal{L}$ , on a alors

$$\begin{aligned} \sum_{\sigma \in \mathcal{E}} \chi_\sigma(x, x + \eta) d_\sigma c_\sigma &= \left| (x_\mathcal{L} - x_\kappa) \cdot \frac{\eta}{|\eta|} \right| \leq |x_\mathcal{L} - x_\kappa| \\ &\leq |x_\mathcal{L} - (x + \eta)| + |(x + \eta) - x| + |x - x_\kappa| \\ &\leq |\eta| + 2\text{size}(\mathcal{T}_n). \end{aligned}$$

- On intègre en  $x \in \mathbb{R}^2$

$$|u^n(x+\eta)-u^n(x)|^2 \leq C(|\eta|+\text{size}(\mathcal{T}_n)) \sum_{\sigma \in \mathcal{E}} \left( \chi_\sigma(x, x+\eta) \frac{d_\sigma}{c_\sigma} |D_\sigma(u^{\tau,n})|^2 \right),$$

- On intègre en  $x \in \mathbb{R}^2$

$$\|u^n(\cdot+\eta)-u^n\|_{L^2}^2 \leq C(|\eta|+\text{size}(\mathcal{T}_n)) \sum_{\sigma \in \mathcal{E}} \frac{d_\sigma}{c_\sigma} |D_\sigma(u^{\tau,n})|^2 \left( \int_{\mathbb{R}^2} \chi_\sigma(x, x+\eta) dx \right)$$

$$|u^n(x+\eta) - u^n(x)|^2 \leq C(|\eta| + \text{size}(\mathcal{T}_n)) \sum_{\sigma \in \mathcal{E}} \left( \chi_\sigma(x, x + \eta) \frac{d_\sigma}{c_\sigma} |D_\sigma(u^{\tau, n})|^2 \right),$$

- On intègre en  $x \in \mathbb{R}^2$

$$\|u^n(\cdot + \eta) - u^n\|_{L^2}^2 \leq C(|\eta| + \text{size}(\mathcal{T}_n)) \sum_{\sigma \in \mathcal{E}} \frac{d_\sigma}{c_\sigma} |D_\sigma(u^{\tau, n})|^2 \left( \int_{\mathbb{R}^2} \chi_\sigma(x, x + \eta) dx \right)$$

- Calcul de l'intégrale

$$\int_{\mathbb{R}^2} \chi_\sigma(x, x + \eta) dx = |\eta| |\sigma| c_\sigma.$$

$$|u^n(x+\eta) - u^n(x)|^2 \leq C(|\eta| + \text{size}(\mathcal{T}_n)) \sum_{\sigma \in \mathcal{E}} \left( \chi_\sigma(x, x + \eta) \frac{d_\sigma}{c_\sigma} |D_\sigma(u^{\mathcal{T},n})|^2 \right),$$

- On intègre en  $x \in \mathbb{R}^2$

$$\|u^n(\cdot + \eta) - u^n\|_{L^2}^2 \leq C(|\eta| + \text{size}(\mathcal{T}_n)) \sum_{\sigma \in \mathcal{E}} \frac{d_\sigma}{c_\sigma} |D_\sigma(u^{\mathcal{T},n})|^2 \left( \int_{\mathbb{R}^2} \chi_\sigma(x, x + \eta) dx \right)$$

- Calcul de l'intégrale

$$\int_{\mathbb{R}^2} \chi_\sigma(x, x + \eta) dx = |\eta| |\sigma| c_\sigma.$$

## CONCLUSION

$$\|u^n(\cdot + \eta) - u^n\|_{L^2}^2 \leq C|\eta| \underbrace{(|\eta| + \text{size}(\mathcal{T}_n))}_{\leq \text{diam}(\Omega)} \underbrace{\|u^{\mathcal{T}_n}\|_{1, \mathcal{T}_n}^2}_{\text{borné}}.$$

$\exists$  une sous-suite  $u^{\varphi(n)} \rightarrow u \in L^2(\mathbb{R}^2)$  avec  $u = 0$  en dehors de  $\Omega$ .

- Par hypothèse, on a

$$\sup_n \|\nabla^{T_n} u^{T_n}\|_{L^2} < +\infty,$$

- Il existe donc  $G \in (L^2(\Omega))^2$  tel que (modulo une autre sous-suite)

$$\nabla^{T_{\varphi(n)}} u^{T_{\varphi(n)}} \xrightarrow[n \rightarrow \infty]{} G.$$

On veut montrer que  $u \in H_0^1(\Omega)$  et  $\nabla u = G$ .

- Par hypothèse, on a

$$\sup_n \|\nabla^{T_n} u^{T_n}\|_{L^2} < +\infty,$$

- Il existe donc  $G \in (L^2(\Omega))^2$  tel que (modulo une autre sous-suite)

$$\nabla^{T_{\varphi(n)}} u^{T_{\varphi(n)}} \xrightarrow{n \rightarrow \infty} G.$$

On veut montrer que  $u \in H_0^1(\Omega)$  et  $\nabla u = G$ .

- Soit  $\Phi \in (C^\infty(\mathbb{R}^2))^2$  (on ne suppose pas  $\Phi = 0$  sur  $\partial\Omega$ )

$$I_n \stackrel{\text{def}}{=} \int_{\Omega} u^{T_n} (\operatorname{div} \Phi) dx \xrightarrow{n \rightarrow \infty} \int_{\Omega} u (\operatorname{div} \Phi) dx.$$

- Par hypothèse, on a

$$\sup_n \|\nabla^{T_n} u^{T_n}\|_{L^2} < +\infty,$$

- Il existe donc  $G \in (L^2(\Omega))^2$  tel que (modulo une autre sous-suite)

$$\nabla^{T_{\varphi(n)}} u^{T_{\varphi(n)}} \xrightarrow{n \rightarrow \infty} G.$$

On veut montrer que  $u \in H_0^1(\Omega)$  et  $\nabla u = G$ .

- Soit  $\Phi \in (C^\infty(\mathbb{R}^2))^2$  (on ne suppose pas  $\Phi = 0$  sur  $\partial\Omega$ )

$$I_n \stackrel{\text{def}}{=} \int_{\Omega} u^{T_n} (\operatorname{div} \Phi) dx \xrightarrow{n \rightarrow \infty} \int_{\Omega} u (\operatorname{div} \Phi) dx.$$

- Mais on a aussi

$$I_n = \sum_{\kappa \in \mathcal{T}_n} u_{\kappa}^n \left( \int_{\kappa} \operatorname{div} \Phi dx \right) = \sum_{\kappa \in \mathcal{T}_n} u_{\kappa}^n \sum_{\sigma \in \mathcal{E}_{\kappa}} \left( \int_{\sigma} \Phi \cdot \nu_{\kappa\sigma} dx \right).$$

- Sommons par arête

$$I_n = \sum_{\sigma \in \mathcal{E}_{int}} (u_{\mathcal{K}}^n - u_{\mathcal{L}}^n) \left( \int_{\sigma} \Phi \cdot \nu_{\mathcal{KL}} \right) + \sum_{\sigma \in \mathcal{E}_{ext}} u_{\mathcal{K}}^n \left( \int_{\sigma} \Phi \cdot \nu_{\mathcal{K}\sigma} \right).$$

- Sommons par arête

$$I_n = \sum_{\sigma \in \mathcal{E}_{int}} (u_{\mathcal{K}}^n - u_{\mathcal{L}}^n) \boldsymbol{\nu}_{\mathcal{KL}} \cdot \left( \int_{\sigma} \Phi \right) + \sum_{\sigma \in \mathcal{E}_{ext}} u_{\mathcal{K}}^n \boldsymbol{\nu}_{\mathcal{K}\sigma} \cdot \left( \int_{\sigma} \Phi \right).$$

- Sommons par arête

$$\begin{aligned}
 I_n = & \sum_{\sigma \in \mathcal{E}_{int}} \frac{|\sigma|d_{\kappa\ell}}{d} \left( d \frac{u_{\kappa}^n - u_{\ell}^n}{d_{\kappa\ell}} \boldsymbol{\nu}_{\kappa\ell} \right) \cdot \left( \frac{1}{|\sigma|} \int_{\sigma} \Phi \right) \\
 & + \sum_{\sigma \in \mathcal{E}_{ext}} \frac{|\sigma|d_{\kappa\sigma}}{d} \left( d \frac{u_{\kappa}^n}{d_{\kappa\sigma}} \boldsymbol{\nu}_{\kappa\sigma} \right) \cdot \left( \frac{1}{|\sigma|} \int_{\sigma} \Phi \right).
 \end{aligned}$$

- Sommons par arête

$$I_n = - \sum_{\sigma \in \mathcal{E}} |\mathcal{D}| \nabla_{\mathcal{D}}^{\mathcal{T}_n} u^{\mathcal{T}_n} \cdot \left( \frac{1}{|\sigma|} \int_{\sigma} \Phi \right).$$

- Sommons par arête

$$I_n = - \sum_{\sigma \in \mathcal{E}} |\mathcal{D}| \nabla_{\mathcal{D}}^{\mathcal{T}_n} u^{\mathcal{T}_n} \cdot \left( \frac{1}{|\sigma|} \int_{\sigma} \Phi \right).$$

- Comme  $\Phi$  est  $\mathcal{C}^\infty$

$$\forall \sigma \in \mathcal{E}, \left| \left( \frac{1}{|\sigma|} \int_{\sigma} \Phi \right) - \left( \frac{1}{|\mathcal{D}|} \int_{\mathcal{D}} \Phi \right) \right| \leq C \|\nabla \Phi\|_{\infty} \text{size}(\mathcal{T}_n).$$

- Sommons par arête

$$I_n = - \sum_{\sigma \in \mathcal{E}} |\mathcal{D}| \nabla_{\mathcal{D}}^{\mathcal{T}_n} u^{\mathcal{T}_n} \cdot \left( \frac{1}{|\sigma|} \int_{\sigma} \Phi \right).$$

- Comme  $\Phi$  est  $\mathcal{C}^\infty$

$$\forall \sigma \in \mathcal{E}, \left| \left( \frac{1}{|\sigma|} \int_{\sigma} \Phi \right) - \left( \frac{1}{|\mathcal{D}|} \int_{\mathcal{D}} \Phi \right) \right| \leq C \|\nabla \Phi\|_{\infty} \text{size}(\mathcal{T}_n).$$

- Comme  $(\nabla^{\mathcal{T}_n} u^{\mathcal{T}_n})_n$  est bornée dans  $L^2$ , on a

$$I_n = - \sum_{\sigma \in \mathcal{E}} |\mathcal{D}| \nabla_{\mathcal{D}}^{\mathcal{T}_n} u^{\mathcal{T}_n} \cdot \left( \frac{1}{|\mathcal{D}|} \int_{\mathcal{D}} \Phi \right) + O_{\Phi}(\text{size}(\mathcal{T}_n)).$$

- Sommons par arête

$$I_n = - \sum_{\sigma \in \mathcal{E}} |\mathcal{D}| \nabla_{\mathcal{D}}^{\mathcal{T}_n} u^{\mathcal{T}_n} \cdot \left( \frac{1}{|\sigma|} \int_{\sigma} \Phi \right).$$

- Comme  $\Phi$  est  $\mathcal{C}^\infty$

$$\forall \sigma \in \mathcal{E}, \left| \left( \frac{1}{|\sigma|} \int_{\sigma} \Phi \right) - \left( \frac{1}{|\mathcal{D}|} \int_{\mathcal{D}} \Phi \right) \right| \leq C \|\nabla \Phi\|_{\infty} \text{size}(\mathcal{T}_n).$$

- Comme  $(\nabla^{\mathcal{T}_n} u^{\mathcal{T}_n})_n$  est bornée dans  $L^2$ , on a

$$I_n = - \sum_{\sigma \in \mathcal{E}} \nabla_{\mathcal{D}}^{\mathcal{T}_n} u^{\mathcal{T}_n} \cdot \int_{\mathcal{D}} \Phi + O_{\Phi}(\text{size}(\mathcal{T}_n)).$$

- Sommons par arête

$$I_n = - \sum_{\sigma \in \mathcal{E}} |\mathcal{D}| \nabla_{\mathcal{D}}^{\mathcal{T}_n} u^{\mathcal{T}_n} \cdot \left( \frac{1}{|\sigma|} \int_{\sigma} \Phi \right).$$

- Comme  $\Phi$  est  $\mathcal{C}^\infty$

$$\forall \sigma \in \mathcal{E}, \left| \left( \frac{1}{|\sigma|} \int_{\sigma} \Phi \right) - \left( \frac{1}{|\mathcal{D}|} \int_{\mathcal{D}} \Phi \right) \right| \leq C \|\nabla \Phi\|_{\infty} \text{size}(\mathcal{T}_n).$$

- Comme  $(\nabla^{\mathcal{T}_n} u^{\mathcal{T}_n})_n$  est bornée dans  $L^2$ , on a

$$I_n = - \int_{\Omega} \nabla^{\mathcal{T}_n} u^{\mathcal{T}_n} \cdot \Phi \, dx + O_{\Phi}(\text{size}(\mathcal{T}_n)).$$

- Sommons par arête

$$I_n = - \sum_{\sigma \in \mathcal{E}} |\mathcal{D}| \nabla_{\mathcal{D}}^{\mathcal{T}_n} u^{\mathcal{T}_n} \cdot \left( \frac{1}{|\sigma|} \int_{\sigma} \Phi \right).$$

- Comme  $\Phi$  est  $\mathcal{C}^\infty$

$$\forall \sigma \in \mathcal{E}, \left| \left( \frac{1}{|\sigma|} \int_{\sigma} \Phi \right) - \left( \frac{1}{|\mathcal{D}|} \int_{\mathcal{D}} \Phi \right) \right| \leq C \|\nabla \Phi\|_{\infty} \text{size}(\mathcal{T}_n).$$

- Comme  $(\nabla^{\mathcal{T}_n} u^{\mathcal{T}_n})_n$  est bornée dans  $L^2$ , on a

$$I_n = - \int_{\Omega} \nabla^{\mathcal{T}_n} u^{\mathcal{T}_n} \cdot \Phi \, dx + O_{\Phi}(\text{size}(\mathcal{T}_n)).$$

- Bilan, pour tout  $\Phi \in (\mathcal{C}^\infty(\mathbb{R}^2))^2$

$$I_n \xrightarrow{n \rightarrow \infty} - \int_{\Omega} G \cdot \Phi \, dx, \quad \text{et} \quad I_n \xrightarrow{n \rightarrow \infty} \int_{\Omega} u \operatorname{div} \Phi \, dx.$$

## ESTIMATION D'ÉNERGIE

$$\forall n \geq 0, \quad \|u^{\mathcal{T}_n}\|_{1, \mathcal{T}_n} \leq \text{diam}(\Omega) \|f\|_{L^2}.$$

## ESTIMATION D'ÉNERGIE

$$\forall n \geq 0, \quad \|u^{T_n}\|_{1, \mathcal{T}_n} \leq \text{diam}(\Omega) \|f\|_{L^2}.$$

THÉORÈME DE COMPACTITÉ  $\Rightarrow$  Il existe  $u \in H_0^1(\Omega)$  tq

$$u^{T_{\varphi(n)}} \xrightarrow[n \rightarrow \infty]{} u \text{ dans } L^2(\Omega),$$

$$\nabla^{T_{\varphi(n)}} u^{T_{\varphi(n)}} \xrightarrow[n \rightarrow \infty]{} \nabla u \text{ dans } (L^2(\Omega))^2.$$

## ESTIMATION D'ÉNERGIE

$$\forall n \geq 0, \quad \|u^{T_n}\|_{1, \mathcal{T}_n} \leq \text{diam}(\Omega) \|f\|_{L^2}.$$

THÉORÈME DE COMPACTITÉ  $\Rightarrow$  Il existe  $u \in H_0^1(\Omega)$  tq

$$u^{T_{\varphi(n)}} \xrightarrow[n \rightarrow \infty]{} u \text{ dans } L^2(\Omega),$$

$$\nabla^{T_{\varphi(n)}} u^{T_{\varphi(n)}} \xrightarrow[n \rightarrow \infty]{} \nabla u \text{ dans } (L^2(\Omega))^2.$$

## CE QU'IL RESTE À FAIRE

- On va montrer que  $u$  vérifie la formulation faible du problème  $-\Delta u = f$ .
- Par unicité on en déduit que les convergences ci-dessus ont lieu pour toute la suite  $(u^{T_n})_n$ .

$$\forall \varphi \in \mathcal{C}_c^\infty(\Omega), \quad \mathbb{P}^T \varphi \stackrel{\text{def}}{=} (\varphi(x_\kappa))_{\kappa \in \mathcal{T}} \in \mathbb{R}^T.$$

INTÉGRATION PAR PARTIES DISCRÈTE AVEC  $v^T = \mathbb{P}^T \varphi$

$$\sum_{\sigma \in \mathcal{E}_{int}} d_\sigma |\sigma| D_{\kappa\mathcal{L}}(u^{T_n}) \frac{\varphi(x_\mathcal{L}) - \varphi(x_\kappa)}{d_{\kappa\mathcal{L}}} = \sum_{\kappa \in \mathcal{T}_n} |\kappa| f_\kappa \varphi(x_\kappa).$$

**Remarque :** Pour  $n$  assez grand, les termes de bord sont nuls.

$$\forall \varphi \in \mathcal{C}_c^\infty(\Omega), \quad \mathbb{P}^T \varphi \stackrel{\text{def}}{=} (\varphi(x_\kappa))_{\kappa \in \mathcal{T}} \in \mathbb{R}^T.$$

INTÉGRATION PAR PARTIES DISCRÈTE AVEC  $v^T = \mathbb{P}^T \varphi$

$$\sum_{\sigma \in \mathcal{E}_{int}} d_\sigma |\sigma| D_{\kappa\mathcal{L}}(u^{T_n}) \frac{\varphi(x_\mathcal{L}) - \varphi(x_\kappa)}{d_{\kappa\mathcal{L}}} = \sum_{\kappa \in \mathcal{T}_n} |\kappa| f_\kappa \varphi(x_\kappa).$$

**Remarque :** Pour  $n$  assez grand, les termes de bord sont nuls.

PAR DÉFINITION DU GRADIENT DISCRET

$$\sum_{\sigma \in \mathcal{E}_{int}} \underbrace{\frac{d_\sigma |\sigma|}{d}}_{=|\mathcal{D}|} \nabla_{\mathcal{D}}^{T_n} u^{T_n} \cdot \left( \frac{\varphi(x_\mathcal{L}) - \varphi(x_\kappa)}{d_{\kappa\mathcal{L}}} \boldsymbol{\nu}_{\kappa\mathcal{L}} \right) = \sum_{\kappa \in \mathcal{T}_n} |\kappa| f_\kappa \varphi(x_\kappa).$$

$$\forall \varphi \in \mathcal{C}_c^\infty(\Omega), \quad \mathbb{P}^\mathcal{T} \varphi \stackrel{\text{def}}{=} (\varphi(x_\kappa))_{\kappa \in \mathcal{T}} \in \mathbb{R}^\mathcal{T}.$$

INTÉGRATION PAR PARTIES DISCRÈTE AVEC  $v^\mathcal{T} = \mathbb{P}^\mathcal{T} \varphi$

$$\sum_{\sigma \in \mathcal{E}_{int}} d_\sigma |\sigma| D_{\kappa\mathcal{L}}(u^{\mathcal{T}_n}) \frac{\varphi(x_\mathcal{L}) - \varphi(x_\kappa)}{d_{\kappa\mathcal{L}}} = \sum_{\kappa \in \mathcal{T}_n} |\kappa| f_\kappa \varphi(x_\kappa).$$

**Remarque :** Pour  $n$  assez grand, les termes de bord sont nuls.

PAR DÉFINITION DU GRADIENT DISCRET

$$\sum_{\sigma \in \mathcal{E}_{int}} \int_{\mathcal{D}} \nabla_{\mathcal{D}}^{\mathcal{T}_n} u^{\mathcal{T}_n} \cdot \left( \frac{\varphi(x_\mathcal{L}) - \varphi(x_\kappa)}{d_{\kappa\mathcal{L}}} \boldsymbol{\nu}_{\kappa\mathcal{L}} \right) = \sum_{\kappa \in \mathcal{T}_n} \int_{\kappa} f(x) \varphi(x_\kappa) dx.$$

$$\forall \varphi \in \mathcal{C}_c^\infty(\Omega), \quad \mathbb{P}^T \varphi \stackrel{\text{def}}{=} (\varphi(x_\kappa))_{\kappa \in \mathcal{T}} \in \mathbb{R}^T.$$

INTÉGRATION PAR PARTIES DISCRÈTE AVEC  $v^T = \mathbb{P}^T \varphi$

$$\sum_{\sigma \in \mathcal{E}_{int}} d_\sigma |\sigma| D_{\kappa\mathcal{L}}(u^{\mathcal{T}_n}) \frac{\varphi(x_\mathcal{L}) - \varphi(x_\kappa)}{d_{\kappa\mathcal{L}}} = \sum_{\kappa \in \mathcal{T}_n} |\kappa| f_\kappa \varphi(x_\kappa).$$

**Remarque :** Pour  $n$  assez grand, les termes de bord sont nuls.

PAR DÉFINITION DU GRADIENT DISCRET

$$\begin{aligned} \sum_{\sigma \in \mathcal{E}_{int}} \int_{\mathcal{D}} \nabla_{\mathcal{D}}^{\mathcal{T}_n} u^{\mathcal{T}_n} \cdot \left( \nabla \varphi(x) + \underbrace{\left( \frac{\varphi(x_\mathcal{L}) - \varphi(x_\kappa)}{d_{\kappa\mathcal{L}}} \boldsymbol{\nu}_{\kappa\mathcal{L}} - (\nabla \varphi(x) \cdot \boldsymbol{\nu}_{\kappa\mathcal{L}}) \boldsymbol{\nu}_{\kappa\mathcal{L}} \right)}_{\stackrel{\text{def}}{=} R_1^n(x)} \right) dx \\ = \sum_{\kappa \in \mathcal{T}} \int_\kappa f(x) \left( \varphi(x) + \underbrace{(\varphi(x_\kappa) - \varphi(x))}_{\stackrel{\text{def}}{=} R_2^n(x)} \right) dx. \end{aligned}$$

## BILAN

$$\begin{aligned} \int_{\Omega} \nabla^{T_n} u^{T_n} \cdot \nabla \varphi(x) dx - \int_{\Omega} f(x) \varphi(x) dx \\ = - \int_{\Omega} \nabla^{T_n} u^{T_n} \cdot R_1^n(x) dx + \int_{\Omega} f(x) R_2^n(x) dx. \end{aligned}$$

## BILAN

$$\begin{aligned} \int_{\Omega} \nabla^{T_n} u^{T_n} \cdot \nabla \varphi(x) dx - \int_{\Omega} f(x) \varphi(x) dx \\ = - \int_{\Omega} \nabla^{T_n} u^{T_n} \cdot R_1^n(x) dx + \int_{\Omega} f(x) R_2^n(x) dx. \end{aligned}$$

$$\begin{aligned} |R_1^n(x)| &= \left| \frac{\varphi(x_{\mathcal{L}}) - \varphi(x_{\mathcal{K}})}{d_{\mathcal{K}\mathcal{L}}} \boldsymbol{\nu}_{\mathcal{K}\mathcal{L}} - (\nabla \varphi(x) \cdot \boldsymbol{\nu}_{\mathcal{K}\mathcal{L}}) \boldsymbol{\nu}_{\mathcal{K}\mathcal{L}} \right| \leq C \|D^2 \varphi\|_{\infty} \text{size}(\mathcal{T}_n). \\ |R_2^n(x)| &= |\varphi(x_{\mathcal{K}}) - \varphi(x)| \leq \|D\varphi\|_{\infty} \text{size}(\mathcal{T}_n). \end{aligned}$$

## BILAN

$$\begin{aligned} \int_{\Omega} \nabla^{T_n} u^{T_n} \cdot \nabla \varphi(x) dx - \int_{\Omega} f(x) \varphi(x) dx \\ = - \int_{\Omega} \nabla^{T_n} u^{T_n} \cdot R_1^n(x) dx + \int_{\Omega} f(x) R_2^n(x) dx. \end{aligned}$$

$$\begin{aligned} |R_1^n(x)| &= \left| \frac{\varphi(x_{\mathcal{L}}) - \varphi(x_{\mathcal{K}})}{d_{\mathcal{K}\mathcal{L}}} \boldsymbol{\nu}_{\mathcal{K}\mathcal{L}} - (\nabla \varphi(x) \cdot \boldsymbol{\nu}_{\mathcal{K}\mathcal{L}}) \boldsymbol{\nu}_{\mathcal{K}\mathcal{L}} \right| \leq C \|D^2 \varphi\|_{\infty} \text{size}(\mathcal{T}_n). \\ |R_2^n(x)| &= |\varphi(x_{\mathcal{K}}) - \varphi(x)| \leq \|D\varphi\|_{\infty} \text{size}(\mathcal{T}_n). \end{aligned}$$

ON PEUT DONC PASSER À LA LIMITE

$$\forall \varphi \in \mathcal{C}_c^{\infty}(\Omega), \quad \int_{\Omega} \nabla u \cdot \nabla \varphi dx = \int_{\Omega} f \varphi dx. \quad (\star)$$

Par densité,  $(\star)$  est encore vraie pour tout  $\varphi \in H_0^1(\Omega)$ , d'où le résultat.

## NON CONVERGENCE FORTE DES GRADIENTS

D'après la formule d'intégration par parties discrète, on a

$$\sum_{\sigma \in \mathcal{E}} d_\sigma |\sigma| |D_\sigma(u^{\mathcal{T}_n})|^2 = \sum_{\kappa \in \mathcal{T}_n} |\kappa| f_\kappa u_\kappa^n = \int_{\Omega} f(x) u^{\mathcal{T}_n} dx.$$

Comme  $\nabla_{\mathcal{D}}^{\mathcal{T}_n} u^{\mathcal{T}_n} = d D_\sigma(u^{\mathcal{T}_n}) \nu_\sigma$ , on en déduit

$$\frac{1}{d} \sum_{\sigma \in \mathcal{E}} \underbrace{\frac{d_\sigma |\sigma|}{d}}_{=|\mathcal{D}|} |\nabla_{\mathcal{D}}^{\mathcal{T}_n} u^{\mathcal{T}_n}|^2 = \int_{\Omega} f(x) u^{\mathcal{T}_n} dx.$$

## NON CONVERGENCE FORTE DES GRADIENTS

D'après la formule d'intégration par parties discrète, on a

$$\sum_{\sigma \in \mathcal{E}} d_{\sigma} |\sigma| |D_{\sigma}(u^{\mathcal{T}_n})|^2 = \sum_{\kappa \in \mathcal{T}_n} |\kappa| f_{\kappa} u_{\kappa}^n = \int_{\Omega} f(x) u^{\mathcal{T}_n} dx.$$

Comme  $\nabla_{\mathcal{D}}^{\mathcal{T}_n} u^{\mathcal{T}_n} = d D_{\sigma}(u^{\mathcal{T}_n}) \nu_{\sigma}$ , on en déduit

$$\frac{1}{d} \|\nabla^{\mathcal{T}_n} u^{\mathcal{T}_n}\|_{L^2}^2 = \int_{\Omega} f(x) u^{\mathcal{T}_n} dx.$$

## NON CONVERGENCE FORTE DES GRADIENTS

D'après la formule d'intégration par parties discrète, on a

$$\sum_{\sigma \in \mathcal{E}} d_{\sigma} |\sigma| |D_{\sigma}(u^{\mathcal{T}_n})|^2 = \sum_{\kappa \in \mathcal{T}_n} |\kappa| f_{\kappa} u_{\kappa}^n = \int_{\Omega} f(x) u^{\mathcal{T}_n} dx.$$

Comme  $\nabla_{\mathcal{D}}^{\mathcal{T}_n} u^{\mathcal{T}_n} = d D_{\sigma}(u^{\mathcal{T}_n}) \nu_{\sigma}$ , on en déduit

$$\frac{1}{d} \|\nabla^{\mathcal{T}_n} u^{\mathcal{T}_n}\|_{L^2}^2 = \int_{\Omega} f(x) u^{\mathcal{T}_n} dx.$$

On passe à la limite dans le terme de droite et on trouve

$$\lim_{n \rightarrow \infty} \|\nabla^{\mathcal{T}_n} u^{\mathcal{T}_n}\|_{L^2}^2 = d \int_{\Omega} f(x) u(x) dx = d \|\nabla u\|_{L^2}^2.$$

↪ Si  $u \neq 0$  et  $d \geq 2$ , on n'a donc pas convergence forte des gradients.

[← Retour](#)

$$R_\sigma(u) = \frac{u(x_\mathcal{L}) - u(x_\mathcal{K})}{d_{\mathcal{K}\mathcal{L}}} - \frac{1}{|\sigma|} \int_\sigma \nabla u(x) \cdot \nu_{\mathcal{K}\mathcal{L}} dx.$$

- Formules de Taylor avec reste intégral (pour  $u \in \mathcal{C}^2$  et  $x \in \sigma$ )

$$u(x_\mathcal{L}) = u(x) + \nabla u(x) \cdot (x_\mathcal{L} - x) + \int_0^1 (1-t) D^2 u(x + t(x_\mathcal{L} - x)) \cdot (x_\mathcal{L} - x)^2 dt,$$

$$u(x_\mathcal{K}) = u(x) + \nabla u(x) \cdot (x_\mathcal{K} - x) + \int_0^1 (1-t) D^2 u(x + t(x_\mathcal{K} - x)) \cdot (x_\mathcal{K} - x)^2 dt.$$

$$R_\sigma(u) = \frac{u(x_\mathcal{L}) - u(x_\mathcal{K})}{d_{\mathcal{K}\mathcal{L}}} - \frac{1}{|\sigma|} \int_\sigma \nabla u(x) \cdot \nu_{\mathcal{K}\mathcal{L}} dx.$$

- Formules de Taylor avec reste intégral (pour  $u \in \mathcal{C}^2$  et  $x \in \sigma$ )

$$u(x_\mathcal{L}) = u(x) + \nabla u(x) \cdot (x_\mathcal{L} - x) + \int_0^1 (1-t) D^2 u(x + t(x_\mathcal{L} - x)) \cdot (x_\mathcal{L} - x)^2 dt,$$

$$u(x_\mathcal{K}) = u(x) + \nabla u(x) \cdot (x_\mathcal{K} - x) + \int_0^1 (1-t) D^2 u(x + t(x_\mathcal{K} - x)) \cdot (x_\mathcal{K} - x)^2 dt.$$

- On soustrait et on utilise  $x_\mathcal{L} - x_\mathcal{K} = d_{\mathcal{K}\mathcal{L}} \nu_{\mathcal{K}\mathcal{L}}$

$$\begin{aligned} u(x_\mathcal{L}) - u(x_\mathcal{K}) &= d_{\mathcal{K}\mathcal{L}} \nabla u(x) \cdot \nu_{\mathcal{K}\mathcal{L}} + \int_0^1 (1-t) D^2 u(x + t(x_\mathcal{L} - x)) \cdot (x_\mathcal{L} - x)^2 dt \\ &\quad - \int_0^1 (1-t) D^2 u(x + t(x_\mathcal{K} - x)) \cdot (x_\mathcal{K} - x)^2 dt. \end{aligned}$$

$$R_\sigma(u) = \frac{u(x_\mathcal{L}) - u(x_\mathcal{K})}{d_{\mathcal{K}\mathcal{L}}} - \frac{1}{|\sigma|} \int_\sigma \nabla u(x) \cdot \nu_{\mathcal{K}\mathcal{L}} dx.$$

- Formules de Taylor avec reste intégral (pour  $u \in \mathcal{C}^2$  et  $x \in \sigma$ )

$$u(x_\mathcal{L}) = u(x) + \nabla u(x) \cdot (x_\mathcal{L} - x) + \int_0^1 (1-t) D^2 u(x + t(x_\mathcal{L} - x)) \cdot (x_\mathcal{L} - x)^2 dt,$$

$$u(x_\mathcal{K}) = u(x) + \nabla u(x) \cdot (x_\mathcal{K} - x) + \int_0^1 (1-t) D^2 u(x + t(x_\mathcal{K} - x)) \cdot (x_\mathcal{K} - x)^2 dt.$$

- Bilan :

$$R_\sigma(u) = \underbrace{\frac{1}{d_{\mathcal{K}\mathcal{L}}|\sigma|} \int_\sigma \int_0^1 (1-t) D^2 u(x + t(x_\mathcal{L} - x)) \cdot (x_\mathcal{L} - x)^2 dt dx}_{=T_1} - \underbrace{\frac{1}{d_{\mathcal{K}\mathcal{L}}|\sigma|} \int_\sigma \int_0^1 (1-t) D^2 u(x + t(x_\mathcal{K} - x)) \cdot (x_\mathcal{K} - x)^2 dt dx}_{=T_2}.$$

$$T_1 = \frac{1}{d_{\mathcal{K}\mathcal{L}}|\sigma|} \int_{\sigma} \int_0^1 (1-t) D^2 u(x + t(x_{\mathcal{L}} - x)) \cdot (x_{\mathcal{L}} - x)^2 dt dx.$$

$$T_1 = \frac{1}{d_{\kappa\mathcal{L}}|\sigma|} \int_{\sigma} \int_0^1 (1-t) D^2 u(x + t(x_{\mathcal{L}} - x)) \cdot (x_{\mathcal{L}} - x)^2 dt dx.$$

INÉGALITÉ DE JENSEN

$$|T_1|^2 \leq \frac{1}{d_{\kappa\mathcal{L}}^2|\sigma|} \int_{\sigma} \int_0^1 |1-t|^2 |D^2 u(x + t(x_{\mathcal{L}} - x))|^2 |x_{\mathcal{L}} - x|^4 dt dx.$$

$$T_1 = \frac{1}{d_{\kappa\mathcal{L}}|\sigma|} \int_{\sigma} \int_0^1 (1-t) D^2 u(x + t(x_{\mathcal{L}} - x)) \cdot (x_{\mathcal{L}} - x)^2 dt dx.$$

## INÉGALITÉ DE JENSEN

$$|T_1|^2 \leq \frac{1}{d_{\kappa\mathcal{L}}^2 |\sigma|} \int_{\sigma} \int_0^1 |1-t|^2 |D^2 u(x + t(x_{\mathcal{L}} - x))|^2 |x_{\mathcal{L}} - x|^4 dt dx.$$

## CHANGEMENT DE VARIABLE

$$(t, x) \in [0, 1] \times \sigma \mapsto y = x + t(x_{\mathcal{L}} - x) \in \mathcal{D}_{\mathcal{L}}.$$

Le Jacobien vaut  $(1-t)(x_{\mathcal{L}} - x) \cdot \nu_{\kappa\mathcal{L}} = (1-t)d_{\mathcal{L}\sigma}$ .

$$|T_1|^2 \leq \frac{d_{\mathcal{D}}^4}{d_{\kappa\mathcal{L}}^2 d_{\mathcal{L},\sigma} |\sigma|} \int_{\mathcal{D}_{\mathcal{L}}} |D^2 u(y)|^2 dy \leq C(\text{reg}(\mathcal{T})) \frac{\text{size}(\mathcal{T})^2}{|\mathcal{D}|} \int_{\mathcal{D}} |D^2 u(y)|^2 dy.$$

◀ Retour

$$R_\sigma(u) = k_\sigma \frac{u(x_\mathcal{L}) - u(x_\mathcal{K})}{d_{\mathcal{K}\mathcal{L}}} - \frac{1}{|\sigma|} \int_\sigma k(x) \nabla u(x) \cdot \nu_{\mathcal{K}\mathcal{L}} dx.$$

NOUVEAU TERME DANS L'ESTIMATION

$$|R_\sigma(u)| \leq \left| k_\sigma - \frac{1}{|\sigma|} \int_\sigma k(x) dx \right| \left| \frac{u(x_\mathcal{L}) - u(x_\mathcal{K})}{d_{\mathcal{K}\mathcal{L}}} \right| + O(\text{size}(\mathcal{T})).$$

$$R_\sigma(u) = k_\sigma \frac{u(x_\mathcal{L}) - u(x_\mathcal{K})}{d_{\mathcal{K}\mathcal{L}}} - \frac{1}{|\sigma|} \int_\sigma k(x) \nabla u(x) \cdot \nu_{\mathcal{K}\mathcal{L}} dx.$$

NOUVEAU TERME DANS L'ESTIMATION

$$|R_\sigma(u)| \leq \left| k_\sigma - \frac{1}{|\sigma|} \int_\sigma k(x) dx \right| \left| \frac{u(x_\mathcal{L}) - u(x_\mathcal{K})}{d_{\mathcal{K}\mathcal{L}}} \right| + O(\text{size}(\mathcal{T})).$$

- Pour n'importe quel des choix de  $k_\sigma$  on a

$$\left| k_\sigma - \frac{1}{|\sigma|} \int_\sigma k(x) dx \right| \leq C \|\nabla k\|_\infty \text{size}(\mathcal{T}).$$

$$R_\sigma(u) = k_\sigma \frac{u(x_\mathcal{L}) - u(x_\mathcal{K})}{d_{\mathcal{K}\mathcal{L}}} - \frac{1}{|\sigma|} \int_\sigma k(x) \nabla u(x) \cdot \nu_{\mathcal{K}\mathcal{L}} dx.$$

NOUVEAU TERME DANS L'ESTIMATION

$$|R_\sigma(u)| \leq \left| k_\sigma - \frac{1}{|\sigma|} \int_\sigma k(x) dx \right| \left| \frac{u(x_\mathcal{L}) - u(x_\mathcal{K})}{d_{\mathcal{K}\mathcal{L}}} \right| + O(\text{size}(\mathcal{T})).$$

- Pour n'importe lequel des choix de  $k_\sigma$  on a

$$\left| k_\sigma - \frac{1}{|\sigma|} \int_\sigma k(x) dx \right| \leq C \|\nabla k\|_\infty \text{size}(\mathcal{T}).$$

- Avec des formules de Taylor on trouve aussi

$$\left| \frac{u(x_\mathcal{L}) - u(x_\mathcal{K})}{d_{\mathcal{K}\mathcal{L}}} \right| \leq C \left( \frac{1}{|\mathcal{D}|} \int_{\mathcal{D}} |\nabla u|^2 + |D^2 u|^2 dx \right)^{\frac{1}{2}}.$$

$$R_\sigma(u) = \frac{d_{\mathcal{K}\mathcal{L}}}{\frac{d_{\mathcal{K}\sigma}}{k_{\mathcal{K}}} + \frac{d_{\mathcal{L}\sigma}}{k_{\mathcal{L}}}} \frac{u(x_{\mathcal{L}}) - u(x_{\mathcal{K}})}{d_{\mathcal{K}\mathcal{L}}} - \frac{1}{|\sigma|} \int_\sigma k(x) \nabla u(x) \cdot \nu_{\mathcal{K}\mathcal{L}} dx.$$

“CONTINUITÉ” DU FLUX EXACT

$$\int_\sigma k(x) \nabla u(x) \cdot \nu_{\mathcal{K}\mathcal{L}} dx \stackrel{\text{def}}{=} k_{\mathcal{K}} \int_\sigma \nabla u|_{\mathcal{K}}(x) \cdot \nu_{\mathcal{K}\mathcal{L}} dx = k_{\mathcal{L}} \int_\sigma \nabla u|_{\mathcal{L}}(x) \cdot \nu_{\mathcal{K}\mathcal{L}} dx.$$

$$R_\sigma(u) = \frac{d_{\mathcal{K}\mathcal{L}}}{\frac{d_{\mathcal{K}\sigma}}{k_{\mathcal{K}}} + \frac{d_{\mathcal{L}\sigma}}{k_{\mathcal{L}}}} \frac{u(x_{\mathcal{L}}) - u(x_{\mathcal{K}})}{d_{\mathcal{K}\mathcal{L}}} - \frac{1}{|\sigma|} \int_\sigma k(x) \nabla u(x) \cdot \nu_{\mathcal{K}\mathcal{L}} dx.$$

“CONTINUITÉ” DU FLUX EXACT

$$\int_\sigma k(x) \nabla u(x) \cdot \nu_{\mathcal{K}\mathcal{L}} dx \stackrel{\text{def}}{=} k_{\mathcal{K}} \int_\sigma \nabla u|_{\mathcal{K}}(x) \cdot \nu_{\mathcal{K}\mathcal{L}} dx = k_{\mathcal{L}} \int_\sigma \nabla u|_{\mathcal{L}}(x) \cdot \nu_{\mathcal{K}\mathcal{L}} dx.$$

FORMULES DE TAYLOR pour  $x \in \sigma$

**ATTENTION** :  $u$  n'est pas régulière mais  $u|_{\mathcal{K}}$  et  $u|_{\mathcal{L}}$  le sont.

$$u(x_{\mathcal{K}}) = u(x) + \nabla u|_{\mathcal{K}}(x) \cdot (x_{\mathcal{K}} - x) + O(\text{size}(\mathcal{T})^2),$$

$$u(x_{\mathcal{L}}) = u(x) + \nabla u|_{\mathcal{L}}(x) \cdot (x_{\mathcal{L}} - x) + O(\text{size}(\mathcal{T})^2).$$

$$R_\sigma(u) = \frac{d_{\mathcal{K}\mathcal{L}}}{\frac{d_{\mathcal{K}\sigma}}{k_{\mathcal{K}}} + \frac{d_{\mathcal{L}\sigma}}{k_{\mathcal{L}}}} \frac{u(x_{\mathcal{L}}) - u(x_{\mathcal{K}})}{d_{\mathcal{K}\mathcal{L}}} - \frac{1}{|\sigma|} \int_\sigma k(x) \nabla u(x) \cdot \boldsymbol{\nu}_{\mathcal{K}\mathcal{L}} dx.$$

“CONTINUITÉ” DU FLUX EXACT

$$\int_\sigma k(x) \nabla u(x) \cdot \boldsymbol{\nu}_{\mathcal{K}\mathcal{L}} dx \stackrel{\text{def}}{=} k_{\mathcal{K}} \int_\sigma \nabla u|_{\mathcal{K}}(x) \cdot \boldsymbol{\nu}_{\mathcal{K}\mathcal{L}} dx = k_{\mathcal{L}} \int_\sigma \nabla u|_{\mathcal{L}}(x) \cdot \boldsymbol{\nu}_{\mathcal{K}\mathcal{L}} dx.$$

FORMULES DE TAYLOR pour  $x \in \sigma$

$$u(x_{\mathcal{K}}) = u(x) + \nabla u|_{\mathcal{K}}(x) \cdot (-d_{\mathcal{K}\sigma} \boldsymbol{\nu}_{\mathcal{K}\mathcal{L}} + \boldsymbol{x}_\sigma - \boldsymbol{x}) + O(\text{size}(\mathcal{T})^2),$$

$$u(x_{\mathcal{L}}) = u(x) + \nabla u|_{\mathcal{L}}(x) \cdot (d_{\mathcal{L}\sigma} \boldsymbol{\nu}_{\mathcal{K}\mathcal{L}} + \boldsymbol{x}_\sigma - \boldsymbol{x}) + O(\text{size}(\mathcal{T})^2).$$

$$R_\sigma(u) = \frac{d_{\mathcal{K}\mathcal{L}}}{\frac{d_{\mathcal{K}\sigma}}{k_{\mathcal{K}}} + \frac{d_{\mathcal{L}\sigma}}{k_{\mathcal{L}}}} \frac{u(x_{\mathcal{L}}) - u(x_{\mathcal{K}})}{d_{\mathcal{K}\mathcal{L}}} - \frac{1}{|\sigma|} \int_\sigma k(x) \nabla u(x) \cdot \nu_{\mathcal{K}\mathcal{L}} dx.$$

“CONTINUITÉ” DU FLUX EXACT

$$\int_\sigma k(x) \nabla u(x) \cdot \nu_{\mathcal{K}\mathcal{L}} dx \stackrel{\text{def}}{=} k_{\mathcal{K}} \int_\sigma \nabla u|_{\mathcal{K}}(x) \cdot \nu_{\mathcal{K}\mathcal{L}} dx = k_{\mathcal{L}} \int_\sigma \nabla u|_{\mathcal{L}}(x) \cdot \nu_{\mathcal{K}\mathcal{L}} dx.$$

FORMULES DE TAYLOR pour  $x \in \sigma$

$$u(x_{\mathcal{L}}) - u(x_{\mathcal{K}}) = d_{\mathcal{L}\sigma} \nabla u|_{\mathcal{L}}(x) \cdot \nu_{\mathcal{K}\mathcal{L}} + d_{\mathcal{K}\sigma} \nabla u|_{\mathcal{K}}(x) \cdot \nu_{\mathcal{K}\mathcal{L}} + O(\text{size}(\mathcal{T})^2).$$

$$R_\sigma(u) = \frac{d_{\mathcal{K}\mathcal{L}}}{\frac{d_{\mathcal{K}\sigma}}{k_{\mathcal{K}}} + \frac{d_{\mathcal{L}\sigma}}{k_{\mathcal{L}}}} \frac{u(x_{\mathcal{L}}) - u(x_{\mathcal{K}})}{d_{\mathcal{K}\mathcal{L}}} - \frac{1}{|\sigma|} \int_\sigma k(x) \nabla u(x) \cdot \nu_{\mathcal{K}\mathcal{L}} dx.$$

“CONTINUITÉ” DU FLUX EXACT

$$\int_\sigma k(x) \nabla u(x) \cdot \nu_{\mathcal{K}\mathcal{L}} dx \stackrel{\text{def}}{=} k_{\mathcal{K}} \int_\sigma \nabla u|_{\mathcal{K}}(x) \cdot \nu_{\mathcal{K}\mathcal{L}} dx = k_{\mathcal{L}} \int_\sigma \nabla u|_{\mathcal{L}}(x) \cdot \nu_{\mathcal{K}\mathcal{L}} dx.$$

FORMULES DE TAYLOR pour  $x \in \sigma$

$$u(x_{\mathcal{L}}) - u(x_{\mathcal{K}}) = \frac{d_{\mathcal{L}\sigma}}{k_{\mathcal{L}}} \left( k_{\mathcal{L}} \nabla u|_{\mathcal{L}}(x) \cdot \nu_{\mathcal{K}\mathcal{L}} \right) + \frac{d_{\mathcal{K}\sigma}}{k_{\mathcal{K}}} \left( k_{\mathcal{K}} \nabla u|_{\mathcal{K}}(x) \cdot \nu_{\mathcal{K}\mathcal{L}} \right) + O(\text{size}(\mathcal{T})^2)$$

$$R_\sigma(u) = \frac{d_{\mathcal{K}\mathcal{L}}}{\frac{d_{\mathcal{K}\sigma}}{k_{\mathcal{K}}} + \frac{d_{\mathcal{L}\sigma}}{k_{\mathcal{L}}}} \frac{u(x_{\mathcal{L}}) - u(x_{\mathcal{K}})}{d_{\mathcal{K}\mathcal{L}}} - \frac{1}{|\sigma|} \int_\sigma k(x) \nabla u(x) \cdot \nu_{\mathcal{K}\mathcal{L}} dx.$$

“CONTINUITÉ” DU FLUX EXACT

$$\int_\sigma k(x) \nabla u(x) \cdot \nu_{\mathcal{K}\mathcal{L}} dx \stackrel{\text{def}}{=} k_{\mathcal{K}} \int_\sigma \nabla u|_{\mathcal{K}}(x) \cdot \nu_{\mathcal{K}\mathcal{L}} dx = k_{\mathcal{L}} \int_\sigma \nabla u|_{\mathcal{L}}(x) \cdot \nu_{\mathcal{K}\mathcal{L}} dx.$$

FORMULES DE TAYLOR pour  $x \in \sigma$

$$u(x_{\mathcal{L}}) - u(x_{\mathcal{K}}) = \frac{d_{\mathcal{L}\sigma}}{k_{\mathcal{L}}} \left( k_{\mathcal{L}} \nabla u|_{\mathcal{L}}(x) \cdot \nu_{\mathcal{K}\mathcal{L}} \right) + \frac{d_{\mathcal{K}\sigma}}{k_{\mathcal{K}}} \left( k_{\mathcal{K}} \nabla u|_{\mathcal{K}}(x) \cdot \nu_{\mathcal{K}\mathcal{L}} \right) + O(\text{size}(\mathcal{T})^2)$$

ON INTÈGRE SUR  $\sigma$

$$|\sigma|(u(x_{\mathcal{L}}) - u(x_{\mathcal{K}})) = \left( \frac{d_{\mathcal{L}\sigma}}{k_{\mathcal{L}}} + \frac{d_{\mathcal{K}\sigma}}{k_{\mathcal{K}}} \right) \int_\sigma k(x) \nabla u(x) \cdot \nu_{\mathcal{K}\mathcal{L}} dx + O(\text{size}(\mathcal{T})^2).$$

$$R_\sigma(u) = \frac{d_{\mathcal{K}\mathcal{L}}}{\frac{d_{\mathcal{L}\sigma}}{k_{\mathcal{K}}} + \frac{d_{\mathcal{L}\sigma}}{k_{\mathcal{L}}}} \frac{u(x_{\mathcal{L}}) - u(x_{\mathcal{K}})}{d_{\mathcal{K}\mathcal{L}}} - \frac{1}{|\sigma|} \int_\sigma k(x) \nabla u(x) \cdot \nu_{\mathcal{K}\mathcal{L}} dx.$$

“CONTINUITÉ” DU FLUX EXACT

$$\int_\sigma k(x) \nabla u(x) \cdot \nu_{\mathcal{K}\mathcal{L}} dx \stackrel{\text{def}}{=} k_{\mathcal{K}} \int_\sigma \nabla u|_{\mathcal{K}}(x) \cdot \nu_{\mathcal{K}\mathcal{L}} dx = k_{\mathcal{L}} \int_\sigma \nabla u|_{\mathcal{L}}(x) \cdot \nu_{\mathcal{K}\mathcal{L}} dx.$$

FORMULES DE TAYLOR pour  $x \in \sigma$

$$u(x_{\mathcal{L}}) - u(x_{\mathcal{K}}) = \frac{d_{\mathcal{L}\sigma}}{k_{\mathcal{L}}} \left( k_{\mathcal{L}} \nabla u|_{\mathcal{L}}(x) \cdot \nu_{\mathcal{K}\mathcal{L}} \right) + \frac{d_{\mathcal{K}\sigma}}{k_{\mathcal{K}}} \left( k_{\mathcal{K}} \nabla u|_{\mathcal{K}}(x) \cdot \nu_{\mathcal{K}\mathcal{L}} \right) + O(\text{size}(\mathcal{T})^2)$$

ON INTÈGRE SUR  $\sigma$

$$\frac{d_{\mathcal{K}\mathcal{L}}}{\frac{d_{\mathcal{L}\sigma}}{k_{\mathcal{L}}} + \frac{d_{\mathcal{K}\sigma}}{k_{\mathcal{K}}}} \frac{u(x_{\mathcal{L}}) - u(x_{\mathcal{K}})}{d_{\mathcal{K}\mathcal{L}}} = \frac{1}{|\sigma|} \int_\sigma k(x) \nabla u(x) \cdot \nu_{\mathcal{K}\mathcal{L}} dx + O(\text{size}(\mathcal{T})).$$

◀ Retour